

**PROGETTO DEFINITIVO
PER LA REALIZZAZIONE DI UN PARCO EOLICO
RICADENTE NEL COMUNE DI FERRANDINA (MT)
IN LOCALITA' SERRA S. PIETRO ED
OPERE DI CONNESSIONE NEL COMUNE DI GARAGUSO (MT)**



Tecnico
ing. Danilo Pomponio

Via Napoli, 363/I - 70132 Bari - Italy
www.bfpgroup.net - info@bfpgroup.net
tel. (+39) 0805046361 - fax (+39) 0805619384

Azienda con Sistema di Gestione Certificato
UNI EN ISO 9001:2015
UNI EN ISO 14001:2015
UNI ISO 45001:2018

Consulente



Via del Vigneto, 21 – 39100 Bolzano
info@serviziarcheologia.com
SOA OS25 class. II attestazione n. 18515/16/00 del 06/07/2018
Dr. Stefano Di Stefano
(Nr. 4421 elenco MiC Archeologo Fascia I abilitato redazione VIArch)

Responsabile Commessa
ing. Danilo Pomponio

ELABORATO	TITOLO	COMMESSA	TIPOLOGIA	
V22	VERIFICA PREVENTIVA DELL'INTERESSE ARCHEOLOGICO - RELAZIONE	21062	D	
		CODICE ELABORATO		
		DC21062D-V22		
REVISIONE	Tutte le informazioni tecniche contenute nel presente documento sono di proprietà esclusiva della Studio Tecnico BFP S.r.l. e non possono essere riprodotte, divulgate o comunque utilizzate senza la sua preventiva autorizzazione scritta. All technical information contained in this document is the exclusive property of Studio Tecnico BFP S.r.l. and may neither be used nor disclosed without its prior written consent. (art. 2575 c.c.)	SOSTITUISCE	SOSTITUITO DA	
00		-	-	
		NOME FILE	PAGINE	
		DC21062D-V22.doc	61 + copertina	
REV	DATA	MODIFICA		
00	16/07/21	Elaborato	Controllato	Approvato
		Di Stefano	Miglionico	Pomponio
01				
02				
03				
04				
05				
06				

INDICE

1. INTRODUZIONE.....	2
2. INQUADRAMENTO TOPOGRAFICO E GEOMORFOLOGICO.....	4
2.1 CARTOGRAFIA UFFICIALE, NOTE TOPONOMASTICHE E VIABILITA' ATTUALE	4
2.2 GEOLOGIA, MORFOLOGIA E IDROGRAFIA	7
3. LA RICERCA BIBLIOGRAFICA: I SITI NOTI E LA VIABILITA' ANTICA	9
4. L'ANALISI DELLE FOTOGRAFIE AEREE	17
5. LA RICOGNIZIONE SUL CAMPO	18
5.1 METODOLOGIA D'INDAGINE	18
5.2 L'UTILIZZO DEL SUOLO	18
5.3 LA VISIBILITÀ	20
5.4 LA DOCUMENTAZIONE	23
5.5 SCHEDE UNITA' DI RICOGNIZIONE	24
6. LA VALUTAZIONE DEL RISCHIO ARCHEOLOGICO.....	33
6.1 TABELLA RIASSUNTIVA DEI DATI RELATIVI ALLE PARTICELLE INDAGATE.....	36
7. ELENCO DELLE FOTOGRAFIE.....	45
7.1 DOCUMENTAZIONE FOTOGRAFICA.....	48
8. ELENCO DELLE TAVOLE	59
9. BIBLIOGRAFIA	60

1. INTRODUZIONE

In questa relazione vengono riportati i risultati di un'indagine archeologica avente come obiettivo la redazione di una valutazione preventiva dell'interesse archeologico (VIArch) relativa ad un progetto di realizzazione un impianto eolico per la produzione di energia elettrica da fonte rinnovabile eolica, costituito da 11 aerogeneratori, ciascuno di potenza nominale pari a 4,8 MW per una potenza complessiva di 52,8 MW. Le opere in progetto interesseranno il settore centro-occidentale della provincia di Matera e, nello specifico, i settori sud-occidentale del territorio comunale di Ferrandina, per quanto concerne gli aerogeneratori, e i settori sud-occidentale del territorio comunale di Ferrandina, quello orientale di San Mauro Forte, quello sud-occidentale di Salandra e quello sud-orientale di Garaguso, per quanto riguarda il cavidotto esterno al parco, lungo circa 15 km (*fig. 1*). L'area della sottostazione elettrica è localizzata nel settore sud-orientale del territorio comunale di Garaguso.

Il proponente del progetto è la società **SORGENIA RENEWABLES Srl** con sede legale a Milano in via Algardi n. 4. La ricerca è stata condotta dalla società **Se. Arch. Srl** con sede a Bolzano in via del Vigneto n. 21, su incarico della **BFP Srl**, ed ha riguardato un'area totale di 3.422.471 m² (pari a circa 3,4 Km² ed a 342 ha)¹. Il lavoro di ricognizione è stato condotto nei giorni da giovedì 6 maggio a lunedì 10 maggio 2021.

La VIArch, realizzata in ottemperanza all'articolo 25 del Decreto Legislativo n. 50/2016, fornisce le indicazioni sull'interferenza tra le opere in progetto ed eventuali preesistenze di interesse storico-archeologico. Questa ricerca è stata caratterizzata dallo sviluppo dell'indagine su più fronti con lo scopo di ottenere un'acquisizione dei dati archeologici inerenti al territorio in questione che fosse il più completa possibile e quindi quello di fornire una valutazione del rischio meglio ponderata. La ricerca è stata dunque impostata in più fasi che hanno riguardato il censimento dei siti già noti dalla bibliografia scientifica di riferimento nel territorio in questione e sulla realizzazione di una campagna di ricognizioni archeologiche sul campo.

Nella presente relazione vengono esposti in maniera dettagliata i risultati di tutte le fasi del lavoro condotto, preceduti da alcune note propedeutiche riguardanti il quadro geomorfologico, i dati emersi dal censimento dei siti noti da bibliografia scientifica, le strategie sulla base delle quali è stato impostato e svolto il lavoro, le metodologie adottate nel corso dell'indagine sul campo e nell'analisi ed esposizione dei dati. Al dettaglio dei dati archeologici fanno poi seguito alcune note per la lettura ed interpretazione della cartografia allegata e la valutazione comparata del rischio archeologico. All'interno della presente relazione, con lo scopo di facilitarne la lettura e di fornire un quadro sinottico dei dati più significativi di pronto utilizzo, vi sono inoltre tabelle riassuntive contenenti i dati principali relativi alle particelle indagate

¹ Alla redazione del documento di valutazione del rischio archeologico hanno collaborato il Dott. Raffaele Fanelli, la Dott.ssa Marianna Galano e la Dott.ssa Rossella Laccone, coordinati dal Dott. Stefano di Stefano Direttore Tecnico della Se. Arch. Srl.

(numero di foglio e di particella catastale, superficie in m², utilizzo del suolo, condizioni del terreno e vegetazione al momento della ricognizione, indice di visibilità, data dell'effettuazione della ricognizione e indicazione riguardante il fatto che il campo in questione sia stato indagato o meno). Allegati alla relazione vi sono poi il corredo cartografico (comprensivo di carte di localizzazione dei siti noti, delle aree indagate, carte dell'utilizzo del suolo e della visibilità, carte con localizzazione delle unità topografiche individuate nel corso della ricognizione suddivise in macro periodi) e cartelle in cui è organizzata tutta la documentazione fotografica realizzata nel corso della ricerca (foto realizzate nel corso della ricognizione stessa, foto dei reperti più significativi).



Fig. 1 - Localizzazione delle opere in progetto (in rosso) su base Ortofoto 2012 (fonte: portale del Ministero dell'Ambiente), rispetto ai limiti comunali (in fucsia).

2. INQUADRAMENTO TOPOGRAFICO E GEOMORFOLOGICO

Si espongono di seguito alcune note relative al quadro geo-morfologico e all'utilizzo dei suoli nel comprensorio sottoposto ad indagine, utili ai fini dell'analisi dei dati relativi agli antichi paesaggi, ottenuti a seguito delle indagini di ricognizione sul campo.

Nei paragrafi seguenti sono riportate alcune annotazioni emerse sia dall'osservazione e dalla lettura della cartografia relativa alla zona che quelle riscontrate nel corso della ricognizione sul campo: dati geografici (localizzazione dell'area anche rispetto alla cartografia ufficiale dello Stato italiano, toponomastica, posizione rispetto alle città presenti nel comprensorio ed ai rispettivi territori comunali, viabilità ed altri elementi distintivi dell'area indagata) ed elementi geo-morfologici (quote, morfologia, andamento della superficie dei terreni, geologia, tipologia dei suoli, idrografia).

2.1 CARTOGRAFIA UFFICIALE, NOTE TOPONOMASTICHE E VIABILITA' ATTUALE

Le opere in progetto interesseranno il settore centro-occidentale della provincia di Matera e, nello specifico, i settori sud-occidentale del territorio comunale di Ferrandina, per quanto concerne gli undici aerogeneratori, e i settori sud-occidentale del territorio comunale di Ferrandina, quello orientale di San Mauro Forte, quello sud-occidentale di Salandra e quello sud-orientale di Garaguso, per quanto riguarda il cavidotto esterno al parco, lungo circa 15 km (*fig. 2*). L'area della sottostazione elettrica è localizzata nel settore sud-orientale del territorio comunale di Garaguso.

Gli aerogeneratori saranno installati in un'area localizzata a 5 km circa a SW di Ferrandina e a 8 km circa a SE di Salandra e collegate tramite un cavidotto interno lungo circa 17 km al cavidotto esterno al parco. Gli aerogeneratori nel dettaglio sono collocati come di seguito indicato:

- Aerogeneratore 1, si trova in località Raganelle in un'area la cui superficie è destinata alla coltivazione di cereali, a circa 430 m a NW di Casa Alvarenzio, a circa 270 m a NE della Strada Provinciale 4 e a 750 m circa a SSW dell'aerogeneratore 2.
- Aerogeneratore 2, si trova in località fosso Raganelle-Manca Sanizza in un'area la cui superficie è destinata alla coltivazione di cereali, a circa 400 m a SE del Fosso Raganelle, a circa 570 m a WNW di Masseria Caputi e a 750 m circa a NNE dell'aerogeneratore 1.
- Aerogeneratore 3, si trova in località Le Rocche in un'area la cui superficie è destinata alla coltivazione di cereali, a circa 930 m a W di Masseria Cirògica, a circa 300 m a WNW del Fosso Raganelle e a 780 m circa a NNW dell'aerogeneratore 2.
- Aerogeneratore 4, si trova in località Masseria Scorpione-Piana di Garrozzo in un'area la cui superficie è destinata alla coltivazione di cereali, a circa 600 m a ENE di Masseria Scorpione, a circa 1 km a ESE di Jazzo Scorpione e a 700 m circa a ESE

- dell'aerogeneratore 5.
- Aerogeneratore 5, si trova in località Jazzo Scorpione in un'area la cui superficie è destinata alla coltivazione di cereali, a circa 320 m a E di Jazzo Scorpione, a circa 490 m a N di Masseria Scorpione e a 700 m circa a WNW dell'aerogeneratore 4.
 - Aerogeneratore 6, si trova in località Piana di Santa Chiara in un'area la cui superficie è destinata alla coltivazione di cereali, a circa 280 m a NW del Fosso del Turo e a circa 330 m a SE di Casa Pepe e a circa 450 m a SE della Strada Provinciale Ferrandina-Stigliano e a 1,1 km circa a NE dell'aerogeneratore 5.
 - Aerogeneratore 7, si trova in località Manca del Tèrmito in un'area la cui superficie è destinata alla coltivazione di cereali, a circa 770 m a NW di Masseria Panacce, a circa 780 m a NE di Timpa Scarace e a 1 km circa a NW dell'aerogeneratore 8.
 - Aerogeneratore 8, si trova in località Manca del Tèrmito in un'area la cui superficie è destinata alla coltivazione di cereali, a circa 770 m a NW di Masseria Panacce e a circa m 780 a NE di Timpa Scarace e a 1 km circa a SE dell'aerogeneratore 7.
 - Aerogeneratore 9, si trova in località Serra San Pietro in un'area la cui superficie è destinata alla coltivazione di cereali, a circa 800 m a NW di Cugno Lungo e a circa m 870 a SSW di Masseria Calderazzo e a 1,5 km circa a SE dell'aerogeneratore 8.
 - Aerogeneratore 10, si trova in località Manca La Pettola e Piana di Surrone, in un'area la cui superficie è destinata alla coltivazione di cereali, a circa 1 km a E di Masseria Amiano e a circa m 760 a W di Masseria Calderazzo e a m 700 circa a S dell'aerogeneratore 11.
 - Aerogeneratore 11, si trova in località il Serrone, in un'area la cui superficie è destinata alla coltivazione di cereali, a circa 400 m a N di Piana di Surrone e a m 700 circa a N dell'aerogeneratore 10.

Il cavidotto esterno ha origine in località Cicchitella a circa 500 m a N dell'aerogeneratore 5 e lungo il suo percorso fino alla stazione elettrica attraversa i territori comunali di Ferrandina, San Mauro Forte, Salandra e Garaguso. Da località Cicchitella il cavidotto segue in direzione SW per circa 1,2 km il tracciato della Strada Provinciale Ferrandina Stigliano fino a raggiungere in località Fosso Rusciano-Manca La Petrizza, la Strada Provinciale 4. IL cavidotto seguirà poi per un lungo tratto il corso di quest'ultima per circa 11 km in direzione NW. In località Ponte Cristallo il cavidotto cambia direzione e prosegue verso W lungo la strada per Garaguso per circa 2 km circa, fino a raggiungere la sottostazione elettrica (di forma rettangolare ed estesa su una superficie di circa 6.400 m² circa) in località Canalecchia, collocata da progetto in adiacenza alla Stazione Elettrica Terna Esistente immediatamente a S di quest'ultima.

Il parco eolico interessa una superficie di circa 1.000 ha, anche se la quantità di suolo effettivamente occupato è significativamente inferiore e limitato alle aree di piazzole dove verranno installati gli aerogeneratori.

Secondo la cartografia ufficiale dello Stato Italiano redatta dall'Istituto Geografico Militare, le

opere in progetto interesseranno i territori comunali di Ferrandina, San Mauro Forte, Salandra e Garaguso e in relazione alle tavolette IGM in scala 1:25000 gli aerogeneratori e il tratto orientale del cavidotto esterno al parco ricadono nella tavoletta 491 III, il tratto centrale del cavidotto esterno al parco eolico nella tavoletta 490 II, infine il tratto settentrionale e la sotto stazione elettrica nella tavoletta 490 I.

L'area di progetto, intesa sia come quella occupato dagli 11 aerogeneratori di progetto, con annesse piazzole e relativi cavidotti di interconnessione interna, e parte del cavidotto esterno, interessa il territorio comunale di Ferrandina censito al NCT ai fogli di mappa nn. 65, 66, 73, 74, 75, 76, 77, 83, 84, 86, 87 parte del cavidotto esterno ricade nel territorio del comune di San Mauro Forte, censito al NCT ai fogli di mappa nn. 4, 7, 24, 25, 29 e 30 e di Salandra, censito al NCT ai fogli di mappa nn. 38, 39, 44, 45, 50 e 51 la restante parte del cavidotto esterno e la sottostazione di consegna ricadono nel territorio comunale di Garaguso censito al NCT ai fogli di mappa n. 43 e 47.

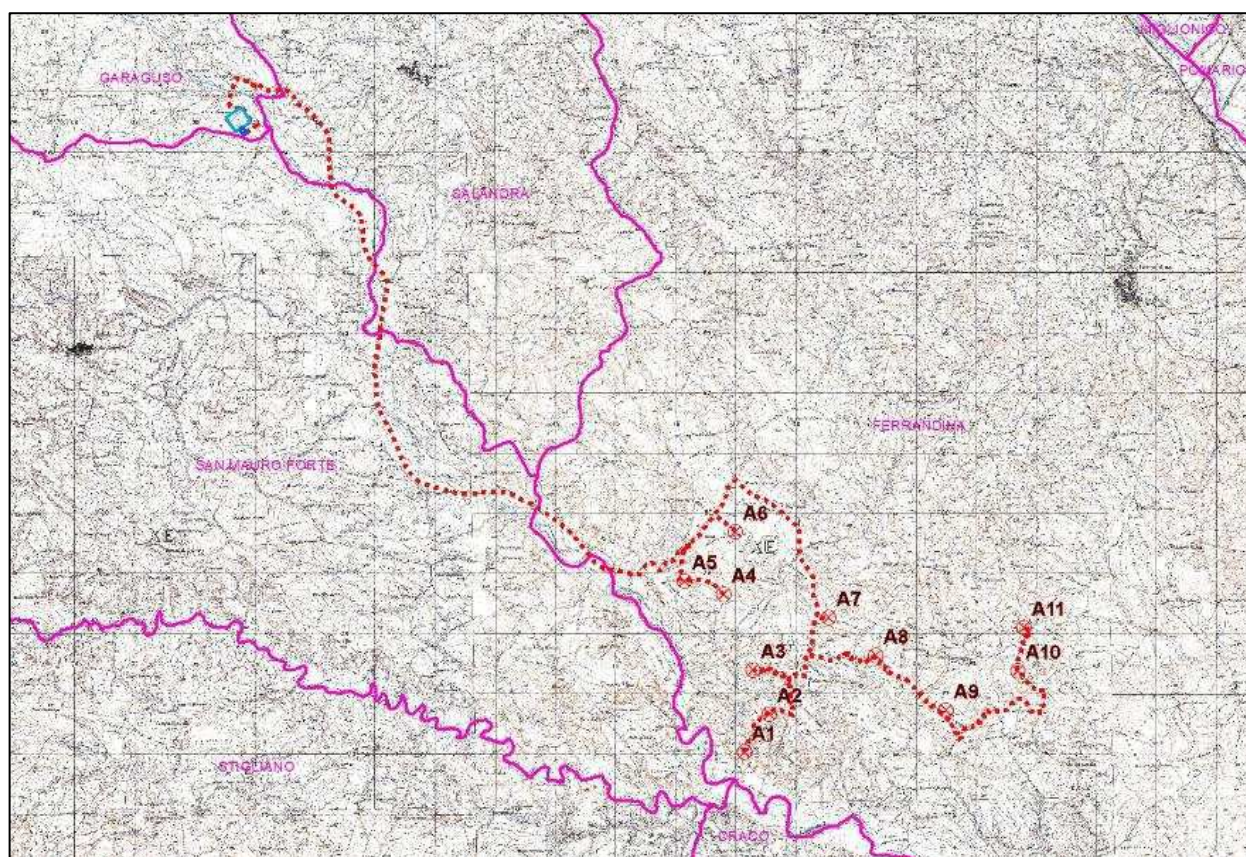


Fig. 2 - Localizzazione dell'area interessata dalla realizzazione del parco eolico (in rosso) e della stazione elettrica (in blu) su base IGM 1954. In fucsia i limiti comunali.

Di seguito si riporta la tabella riepilogativa, in cui sono indicate per ciascun aerogeneratore le relative coordinate e le particelle catastali, con riferimento al catasto dei terreni del Comune di Ferrandina.

WTG	COORDINATE GEOGRAFICHE WGS84		COORDINATE PLANIMETRICHE UTM33 / WGS84		COORDINATE PLANIMETRICHE GAUSS BOAGA	
	LATITUDINE	LONGITUDINE	NORD (Y)	EST (X)	NORD (Y)	EST (X)
01	40° 25' 29.9291"	16° 22' 48.3521"	4475842,53	617073,48	4475847,24	2637080,78
02	40° 25' 49.8848"	16° 23' 6.4577"	4476464,00	617490,00	4476468.70	2637497.79
03	40° 26' 14.0122"	16° 22' 55.7475"	4477204,82	617226,52	4477208.70	2637233.80
04	40°27'28.4500"	16°22'44.4100"	4478453,93	616738,27	4478458.56	2639745.90
05	40° 27' 2.4176"	16° 22' 7.9184"	4478679,19	616076,06	4478683.70	2636083.83
06	40° 27' 28.4500"	16° 22' 44.4100"	4479495,00	616923,00	4479499.50	2636930.76
07	40° 26' 41.4819"	16° 23' 49.6689"	4478071,61	618483,90	4478075.68	2638490.81
08	40° 26' 20.8835"	16° 24' 22.1377"	4477448,00	619258,00	4477452.68	2639265.80
09	40° 25' 50.8355"	16° 25' 11.2517"	4476540,00	620430,00	4476544.67	2640437.78
10	40° 26' 11.2849"	16° 26' 2.3599"	4477190,33	621624,61	4477194.66	2641631.78
11	40° 26' 34.6058"	16° 26' 7.3550"	4477911,23	621730,43	4477915.65	2641737.79

Tabella dati geografici e catastali degli Aerogeneratori.

2.2 GEOLOGIA, MORFOLOGIA E IDROGRAFIA

Dal punto di vista della geo-morfologia, l'area interessata dal progetto è localizzata in una porzione di territorio destinata alla coltivazione agricola e in parte coperta da vegetazione spontanea e boschi. Le aree destinate alla coltivazione agricola, nello specifico, nel periodo dell'anno in cui è stata effettuata la ricognizione sul campo, è destinata principalmente alla produzione di cereali. L'elevazione oscilla tra i 298 m s.l.m. dell'area prossima all'aerogeneratore 3 (zona di massima elevazione) e i 98 m s.l.m. che caratterizzano il tratto di cavidotto in località Cugno Lungo, in un'area collinare caratterizzata da pendenze talvolta anche molto accentuate (*fig. 3*).

Dal punto di vista dell'idrografia, l'area interessata dall'area del parco eolico è caratterizzata dalla presenza di una fitta rete di bacini idrici di piccola portata per la maggior parte a carattere stagionale orientati in senso NW-SE (*fig. 4*). Il corso d'acqua di maggiore portata è il fiume Cavone/Salandrella che, nel tratto interessato dal progetto scorre in direzione SE e nel cui fondovalle corre la Strada Provinciale 4 lungo il cui tracciato è prevista la realizzazione del tratto di cavidotto esterno al parco eolico.

Per quanto riguarda il substrato geologico, secondo la lettura della Carta Geologica d'Italia (*fig. 5*), l'area oggetto di indagine è caratterizzata dalla presenza di un'unica formazione geologica, cioè da depositi marini costituiti da sedimenti argillosi formati tra il Pleistocene e il Pliocene; il tratto di cavidotto esterno che segue il fondovalle del fiume Cavone/Salandrella è costituito

dalla formazione geologica costituita da depositi alluvionali recenti risalenti all'Olocene².

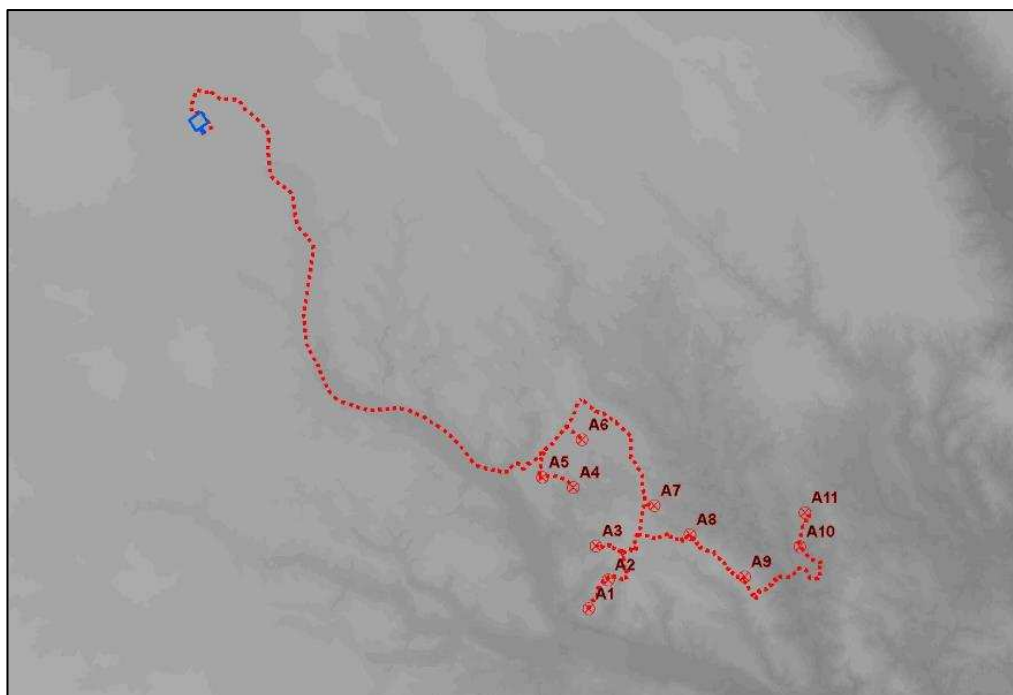


Fig. 3 - Localizzazione delle aree interessate dalle opere in progetto su base DTM (fonte: portale del Ministero dell'Ambiente).



Fig. 4 - Localizzazione delle aree interessate dalla realizzazione parco fotovoltaico (in rosso) e della stazione elettrica (in blu), in azzurro i bacini idrografici, su base ortofoto 2012 del Ministero dell'Ambiente.

² Fogli 200 Tricarico e 188 Gravina in Puglia della Carta Geologica d'Italia (fonte: Portale del Dipartimento per il Servizio Geologico d'Italia – Ministero dell'Ambiente).

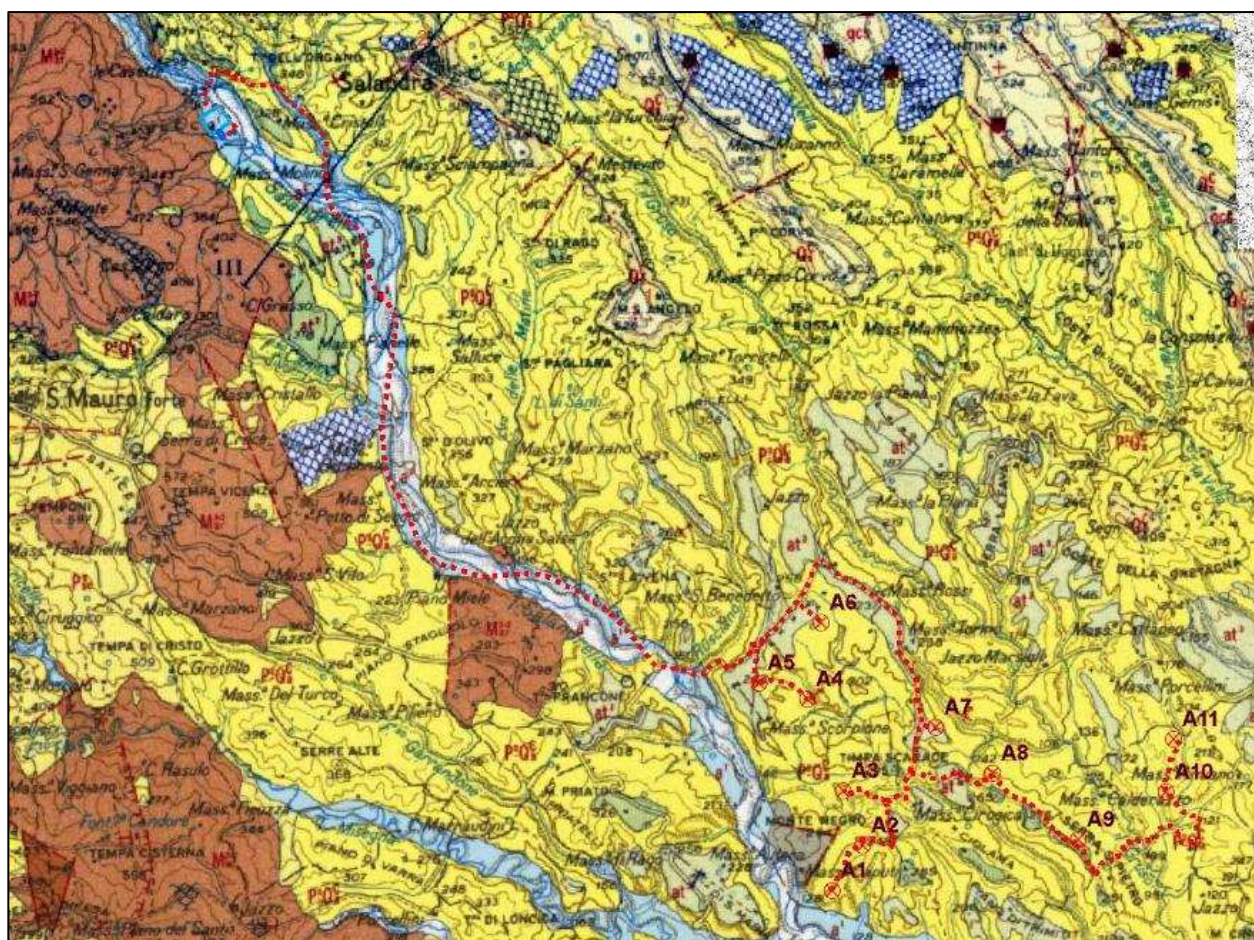


Fig. 5 - Localizzazione delle opere in progetto in relazione alla Carta Geologica d'Italia.

3. LA RICERCA BIBLIOGRAFICA: I SITI NOTI E LA VIABILITA' ANTICA

Al fine di una più esaustiva conoscenza delle dinamiche storiche caratterizzanti il territorio interessato dalla realizzazione del parco eolico e delle opere ad esso connesse, l'analisi dei siti noti ha preso in considerazione i seguenti elementi:

Analisi delle aree vincolate ai sensi del D.lgs. 42/2004 e di quelle sulle quali insiste una qualunque forma di tutela archeologica e architettonica, desumibili da piani territoriali (PTPR/PPTR, PRG, PUG etc), Vincoli in rete³ e da una serie di siti istituzionali⁴, nonché da altra

³ Il portale vincoliinrete.beniculturali.it è stato realizzato dall'Istituto Superiore per la Conservazione ed il Restauro (ICR) è un progetto per lo sviluppo di servizi dedicati agli utenti interni ed esterni al Ministero dei Beni e delle Attività Culturali e del Turismo (MIBACT).

⁴ Sistema informativo Carta del Rischio contenente tutti i decreti di vincolo su beni immobili emessi dal 1909 al 2003 (ex *leges* 364/1909, 1089/1939, 490/1999) presso l'Istituto Superiore per la Conservazione ed il Restauro (www.cartadelrischio.it), il Sistema Informativo Beni Tutelati presso la Direzione Generale Belle Arti e Paesaggio (www.benitutelati.it), il Sistema informativo SITAP presso la Direzione Generale Belle Arti e Paesaggio (sitap.beniculturali.it), il Sistema Informativo SIGEC Web presso l'Istituto Centrale per il Catalogo e la Documentazione ICCD (www.iccd.beniculturali.it/it/sigec-web).

bibliografia specifica quale ad esempio gli studi condotti e pubblicati da Giardino⁵ e Buck⁶ per quanto concerne la viabilità antica e le segnalazioni derivanti da precedenti campagne di ricognizioni archeologiche e scavi archeologici documentati nell'archivio SABAP Basilicata. L'analisi di tale materiale documentario ha consentito di delineare un profilo storico - archeologico dell'area al centro del progetto cui questa relazione fa riferimento. Al fine di fornire un panorama quanto più esaustivo dell'area del progetto e di quanto è nelle sue immediate vicinanze, si è considerata una distanza massima dalle opere di circa 3 chilometri entro cui ricadono diverse aree d'interesse archeologico (*fig. 6*).

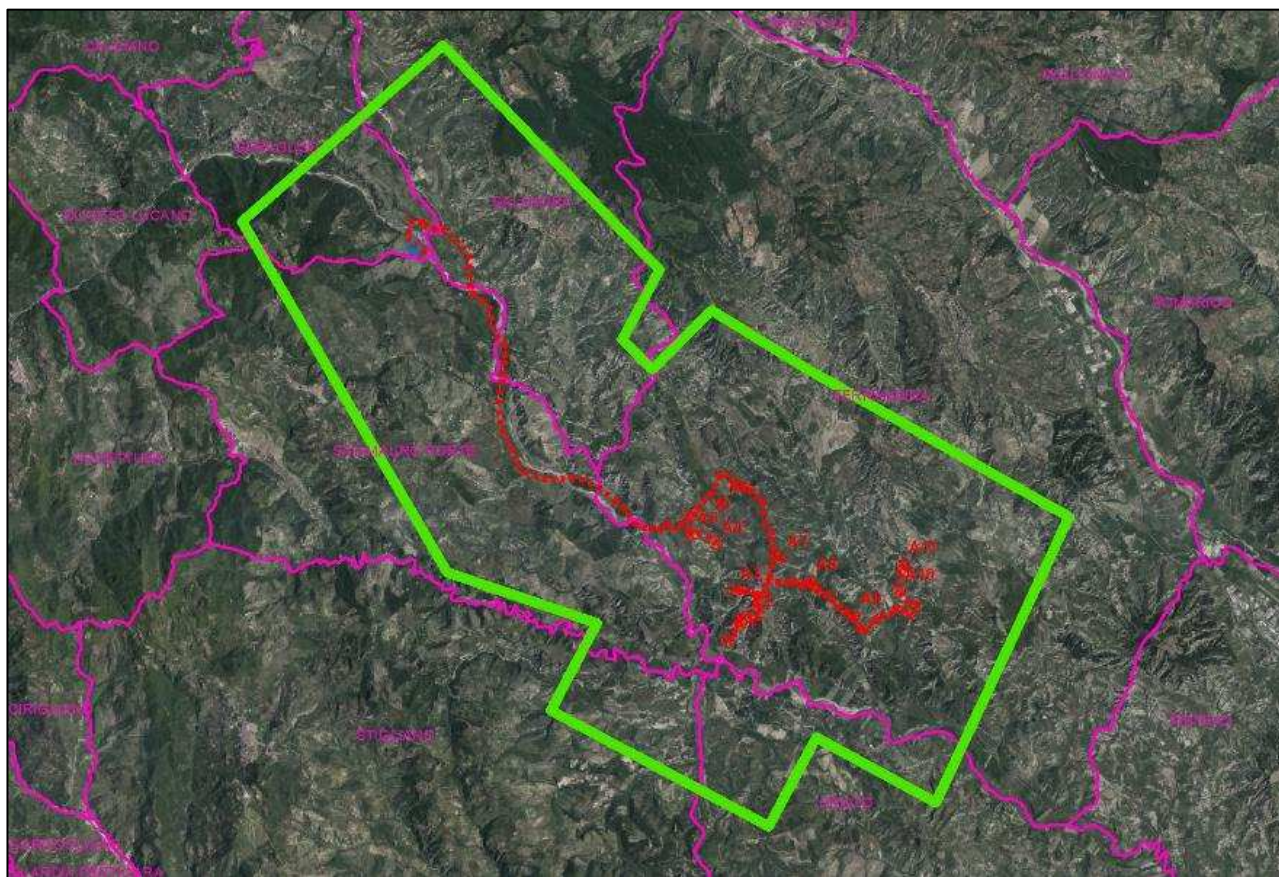


Fig. 6 - Area presa in considerazione per l'analisi dei siti noti (in azzurro) su base Ortofoto 2012 (fonte: Ministero dell'Ambiente).

Per una più efficace e puntuale disamina delle segnalazioni archeologiche che interessano l'area del progetto in esame, si distingueranno i siti ricadenti nei diversi comuni interessati ed ogni sito presenterà un codice alfanumerico, composto di una parte costituita da tre lettere, in riferimento al comune nel territorio nel quale il sito ricade (SLN per il comune di Salandra, SMF per il comune di San Mauro Forte, GRG per il comune di Garaguso, FRN per il comune di

⁵ Giardino 2009.

⁶ Buck 1974.

Ferrandina) - ed un numero progressivo.

I siti individuati grazie all'analisi bibliografica sono nello specifico i seguenti (*fig. 7*):

FRN001, località Masseria Scorpione⁷ (Ferrandina)

In località Masseria Scorpione sono stati recuperati i resti di una deposizione con relativo corredo databile al IV secolo a. C. Il sito è localizzato a circa 520 m circa a WSW dall'aerogeneratore 4 e a 520 m circa a SSE dall'aerogeneratore 5.

SLN001, località San Vitale⁸ (Salandra)

Nel 1984 nel corso dei lavori per la realizzazione del metanodotto Ferrandina-Moliterno in località San Vitale vennero rinvenuti frammenti ceramici databili ad età ellenistica. Il sito è localizzato a 1,9 km circa a NE del cavidotto.

SLN002, centro storico⁹ (Salandra)

Salandra è citata per la prima volta in una bolla del 1060 con cui il Papa ordinava al vescovo di Tricarico di passare dal rito greco a quello latino. Nel 1119 il feudo di Salandra fu concesso in donazione dalla contessa normanna Emma Maccabeo e suo figlio Ruggiero al monastero di San Michele Arcangelo di Montescaglioso, donazione riconfermata ai monaci benedettini con una bolla del 1124 dalla regina Costanza, figlia del re di Francia e moglie di Boemondo di Antiochia, dopo che questa venne liberata dalla prigionia di Alessandro, conte di Matera e reintegrata nei suoi possedimenti. Nel Registro dei baroni, riferito agli anni compresi tra il 1154 e il 1168 il centro abitato lucano risulta appartenere alla Contea di Montescaglioso, di cui all'epoca era vassallo Guglielmo De Caro, Signore di Salandra. Dall'elenco dei baroni di Federico II sappiamo che nel 1235 Salandra era proprietà di Giliberto da Salandra, poi passata agli Angioini. L'abitato continuò a vivere, tra alterne vicende senza soluzione di continuità fino a raggiungere l'assetto attuale. L'abitato di Salandra è localizzato a 1,7 km circa a NE del cavidotto.

SLN003, località La Spinosa¹⁰ (Salandra)

Nel 1992 durante i lavori per la piantumazione di noci, furono individuati resti di abitazione con annesso magazzino per la conservazione di derrate alimentari. Il sito è localizzato a 1,7 km circa a NE del cavidotto.

⁷ Tramonti 1983; Canosa 1987, p. 24; Canosa 1987, p. 43.

⁸ Archivio SABAP Basilicata.

⁹ Ciotta 1988.

¹⁰ Archivio SABAP Basilicata.

SLN004, località Masseria Vecchia¹¹ (Salandra)

Nei pressi della masseria sono state rinvenute sepolture ellenistiche e frammenti ceramici di età ellenistica e romana, questi ultimi forse riferibili ad una fattoria di età Repubblicana. Il sito è localizzato a 900 m circa a E del cavidotto.

SMF001, località Fornaci-Isca Fornace¹² (San Mauro Forte)

Rinvenimento di sepolture databili ad età romana e inoltre dal piano di campagna vennero documentati dei tubuli in terracotta forse attribuibili ad una condotta idrica. Il sito è localizzato a 430 m circa a W del cavidotto.

SMF002, località Serra d'Ulivo¹³ (San Mauro Forte)

Intorno alla fine del 1800 in località Serra d'Ulivo fu segnalata un'area di dispersione con numerosi frammenti ceramici databili al VI secolo a.C. e monete di età ellenistica che attestano la presenza di un abitato arcaico. Inoltre, nella stessa zona furono individuate tracce di frequentazione databili ad età imperiale. Il sito è localizzato a 550 m circa a E del cavidotto.

SMF003, località Serra di Croce¹⁴ (San Mauro Forte)

Da questa località provengono dei vasi a vernice nera di piccole dimensioni, rinvenuti anche a Tempa Vicenza, che accompagnavano alcune sepolture databili tra IV e I secolo a. C. Il sito è localizzato a circa 1,7 km a W del cavidotto.

SMF004, località Tempa Vicenza¹⁵ (San Mauro Forte)

Da questa località provengono dei vasi a vernice nera di piccole dimensioni che accompagnavano alcune sepolture databili tra IV e I secolo a. C. Il sito è localizzato a circa 2,4 km a W del cavidotto.

SMF005, località Piana di Santa Maria¹⁶ (San Mauro Forte)

In località Piana Santa Maria sono presenti i pochi ruderi dell'abbazia di Santa Maria di Priato, localizzati a circa 1,4 km a W dell'aerogeneratore 1.

SMF006, località Priati¹⁷ (San Mauro Forte)

Da questa località proviene una stele in terracotta di piccole dimensioni rinvenuta nel 1881 con

¹¹ Archivio SABAP Basilicata; Tramonti 1983.

¹² Tramonti 1983.

¹³ Tramonti 1983.

¹⁴ Tramonti 1983, p. 90.

¹⁵ Tramonti 1983, p. 90.

¹⁶ Tramonti 1983, p. 92.

¹⁷ Tramonti 1983; D'Angella 2008.

dedica ad Eracle in greco arcaico con i nomi di committente e figulo. Il sito è localizzato a circa 1,8 km a SW del cavidotto.

SMF007, località Monte Priato¹⁸ (San Mauro Forte)

Si tratta di un insediamento molto articolato che doveva disporsi lungo le pendici del monte lungo la riva settentrionale del torrente Misegna, non molto lontano dal punto di confluenza tra i fiumi Salendrella e Cavone. Nello specifico il sito era costituito da un insediamento sparso molto esteso a vocazione agricola composto da fattorie intervallate da piccole aree a destinazione sepolcrale. La località interessata dall'insediamento è localizzata a circa km 2 a SSW del cavidotto.

SMF008, località Canalecchia¹⁹ (San Mauro Forte)

Nell'area è segnalata la presenza di materiali databili ad un arco cronologico molto ampio compreso tra l'età del Bronzo e l'età medievale. Il sito non ha una localizzazione certa e la località interessata dista circa 600 m a W dell'area della sottostazione elettrica.

SMF009, località Masseria Pianelle²⁰ (San Mauro Forte)

Da questa località provengono notizie di ritrovamenti archeologici sporadici non meglio identificati. Il sito è localizzato a poco più di 750 m a W del cavidotto.

SMF010, località Mesola Vecchia²¹ (San Mauro Forte)

In questa località, nel 1984 durante i lavori di scavo per la realizzazione del metanodotto Moliterno-Ferrandina, furono rinvenute quattro sepolture databili sulla base degli elementi di corredo al IV-III secolo a. C. Il sito è localizzato a circa 640 m a S del cavidotto.

GRG001, località Guardiola²² (Garaguso)

In località Guardiola sono state rinvenute sepolture dalle quali furono recuperate fibule in argento databili tra il IV e il III secolo a. C. Il sito è localizzato a circa 900 m a NW del tratto di cavidotto diretto alla stazione elettrica.

¹⁸ Tramonti 1983, p. 89; Canosa 1987, p. 24.

¹⁹ Tramonti 1983, p. 90.

²⁰ Tramonti 1983.

²¹ Archivio SABAP Basilicata.

²² Tramonti 1983.

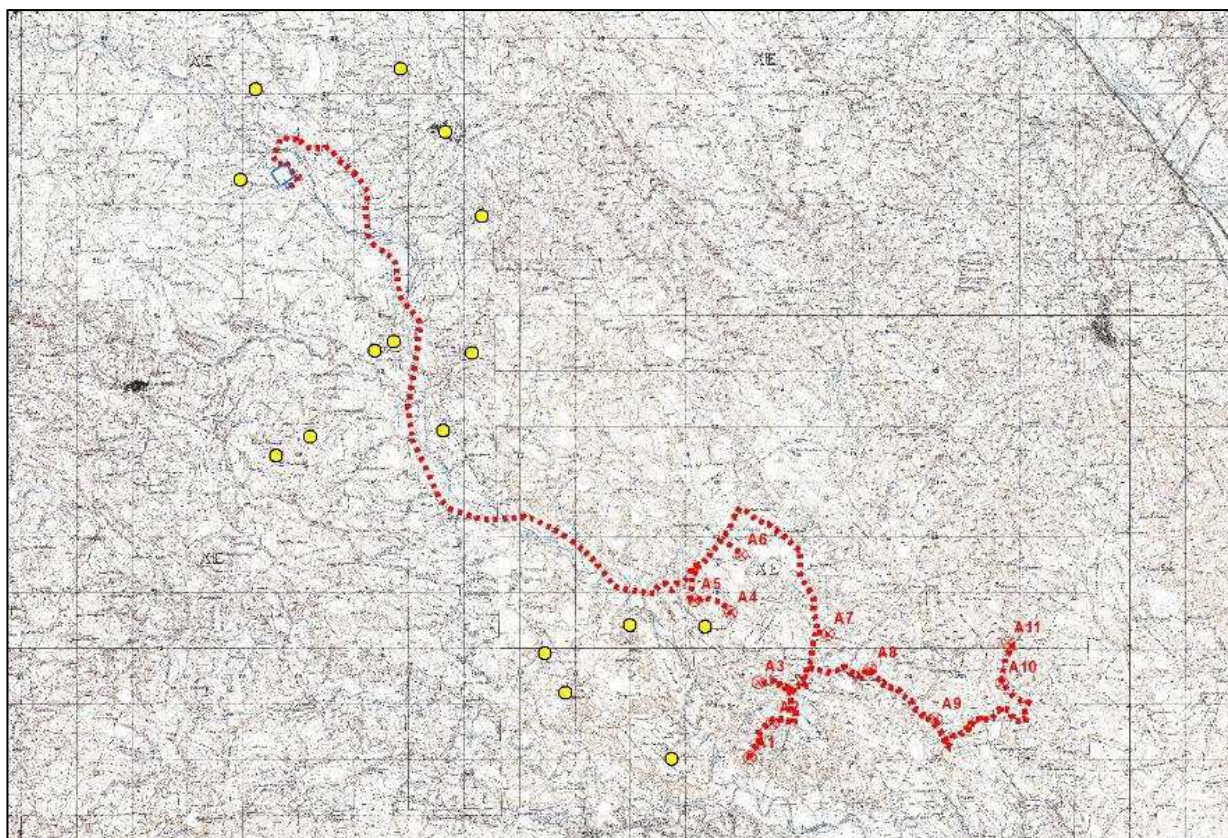


Fig. 7 - Localizzazione dei siti noti (in giallo) in relazione alle opere in progetto su base IGM 1954.

La viabilità antica e i tratturi

Per quanto riguarda la viabilità antica e moderna, l'area interessata dalla presente indagine è compresa tra i corsi dei fiumi Basento a NE e della Salandrella a W, che hanno da sempre costituito, insieme agli altri corsi d'acqua che dai territori interni si dirigevano a SE per poi sfociare nel mare Ionio, delle agevoli vie di penetrazione dalla costa verso le aree interne. Le vie, pressoché parallele tra loro, erano poi collegate l'una all'altra attraverso percorsi secondari brevi che sin da età preromana collegavano i centri dell'interno, sfruttando la ramificata rete idrografica che tuttora caratterizza questa porzione di territorio²³ e in generale la Basilicata interna. Nello specifico, l'area interessata dalla realizzazione del parco eolico e delle opere connesse, era attraversata da questi tracciati viari secondari ipotizzati dal Buck²⁴ ed utilizzati in gran parte fino ad età moderna, dei quali non è stato sinora possibile stabilire con precisione i singoli percorsi²⁵ (figg. 8-9).

In relazione alla rete dei tratturi si segnala la presenza di alcuni tratturi di età moderna²⁶ (fig.

²³ Giardino 2009.

²⁴ Buck 1974.

²⁵ Ceraudo 2014, Uggeri 1983.

²⁶ D.M. del 22/12/1983; artt. 10 e 13 Dlgs 42/2004.

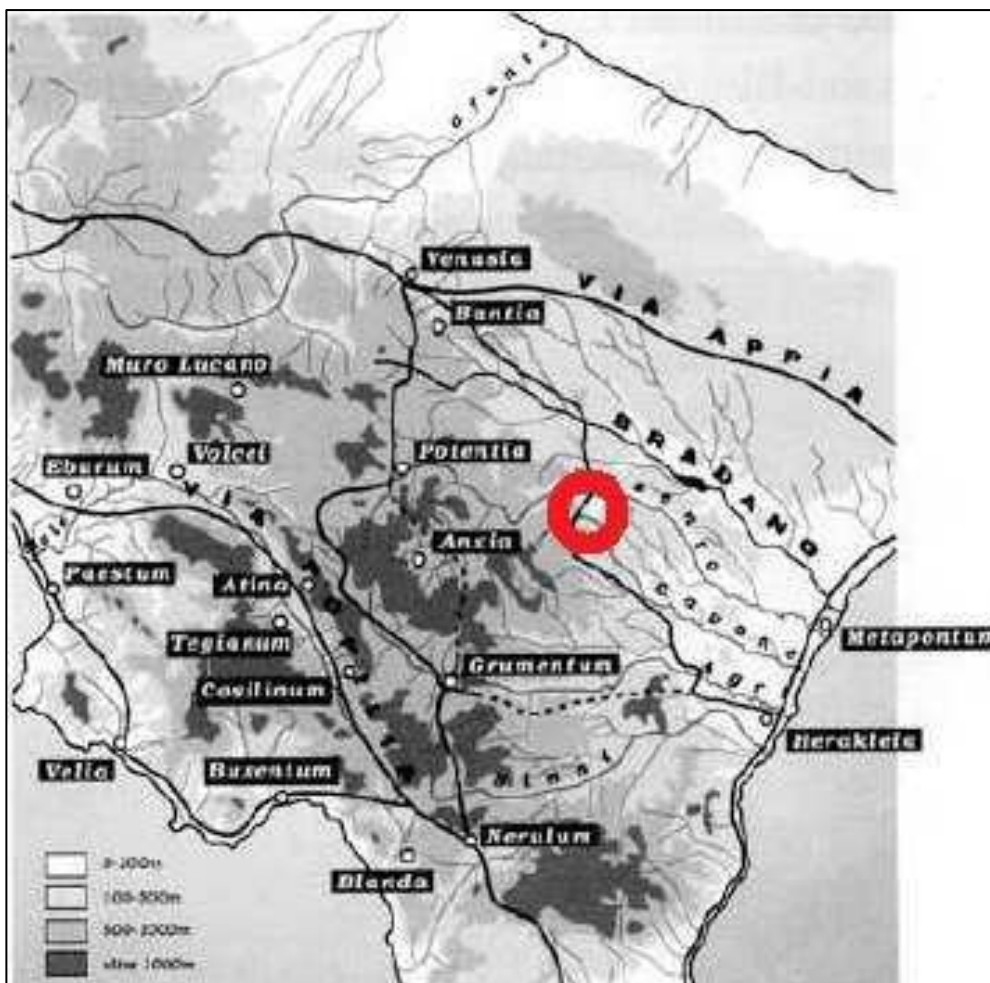


Fig. 9 - I tracciati viari in età imperiale in relazione alle opere in progetto (in rosso).

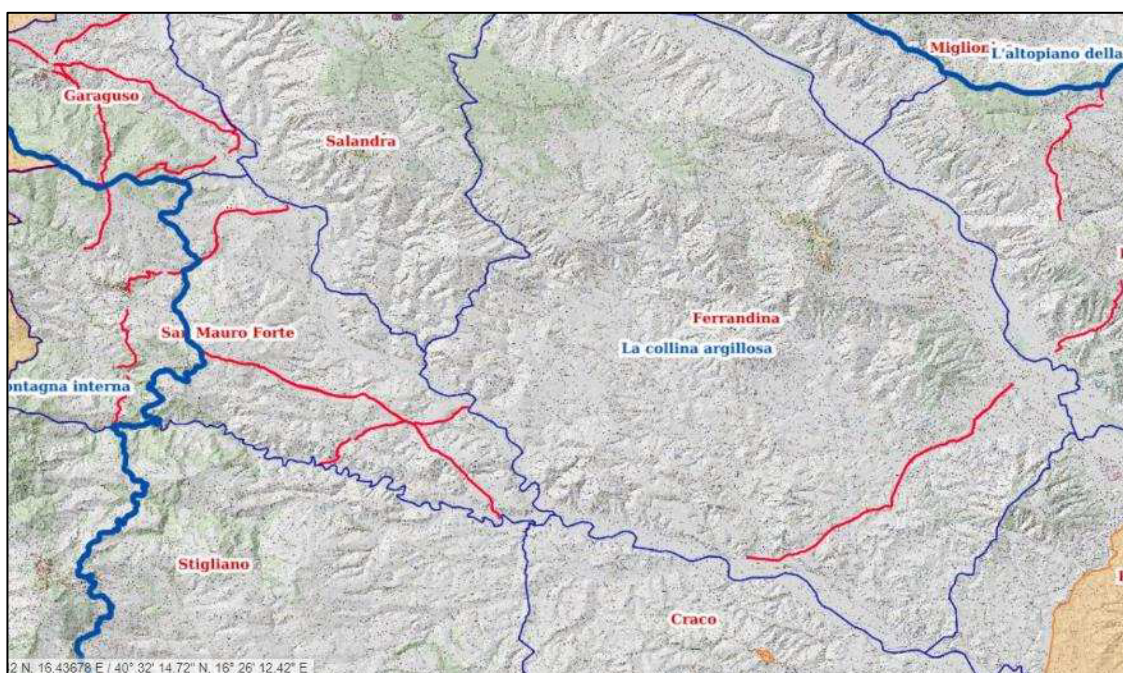


Fig. 10 - La rete tratturale di età moderna in rosso (fonte: portale RSDI Regione Basilicata).

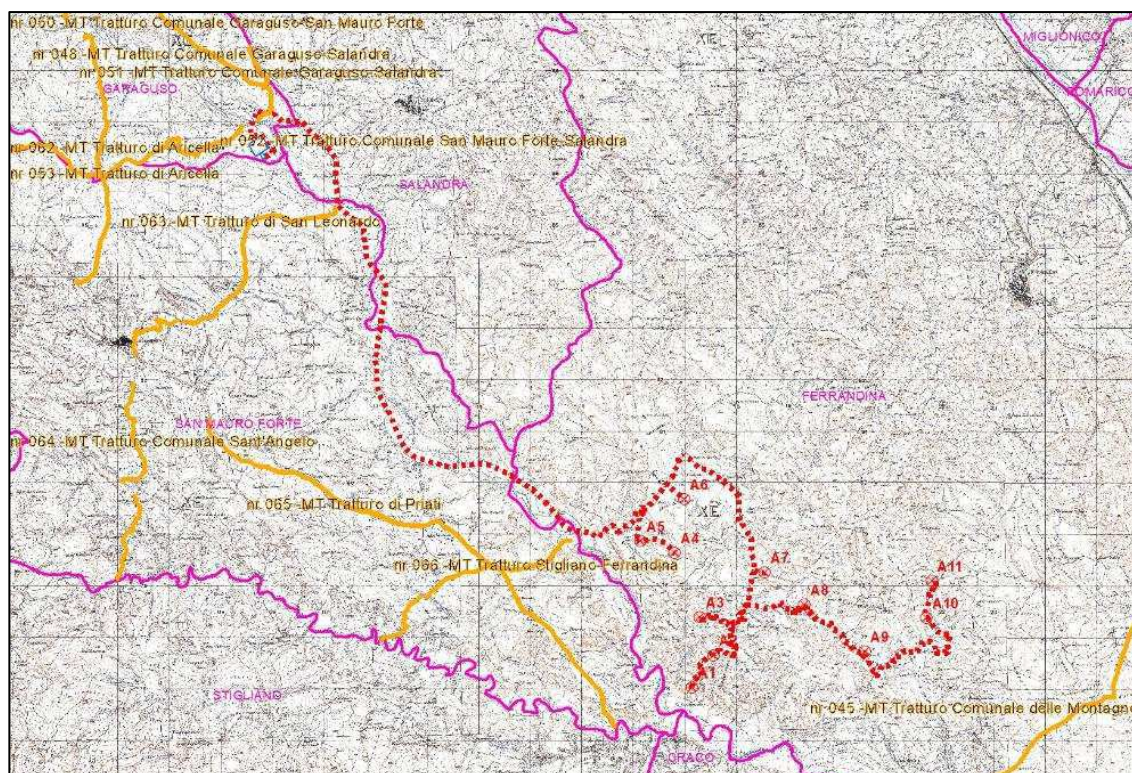


Fig. 11 - La rete tratturale di età moderna in arancio (fonte: portale RSDI Regione Basilicata).

4. L'ANALISI DELLE FOTOGRAFIE AEREE

La presente ricerca ha riguardato, oltre allo spoglio della bibliografia per l'individuazione dei siti noti e alla ricognizione di superficie nella zona interessata dalla realizzazione dell'impianto eolico e del relativo cavidotto nei territori comunali di Ferrandina, San Mauro Forte, Salandra e Garaguso (MT), l'analisi delle coperture ortofotografiche disponibili per il territorio in questione, in particolare quelle realizzate negli anni 1998, 2006, 2012 e 2013, al fine di verificare l'esistenza di possibili anomalie di interesse archeologico nell'area e l'eventuale interferenza di queste con la realizzazione delle opere.

L'esame delle foto aeree, che ha riguardato la zona direttamente interessata dalla realizzazione delle opere in progetto e quella ad essa immediatamente prossima, non ha evidenziato la presenza di anomalie di interesse archeologico nell'area oggetto d'indagine.

5. LA RICOGNIZIONE SUL CAMPO

5.1 METODOLOGIA D'INDAGINE

Il lavoro sul campo è stato svolto nei giorni da giovedì 6 maggio a lunedì 10 maggio 2021 e ha visto coinvolti un totale di tre archeologi. Il gruppo di archeologi che ha condotto la ricognizione sul campo è stato composto dai dott.ri Stefano Di Stefano, Raffaele Fanelli e Rossella Laccone. Nel corso del lavoro sul campo è stata presa in esame una porzione di territorio estesa su una superficie totale di 3.422.471 m² (pari a circa 3,4 Km² ed a 342 ha circa).

Rispetto al totale della superficie presa in considerazione per l'indagine, è stata effettivamente indagata un'area pari a circa 278 ettari corrispondente al 81% circa dell'area totale.

Risulta, quindi, non indagata una porzione territoriale pari ad una superficie di 638.500 m² (63,8 ha circa, equivalente al 19% dell'area presa in esame) corrispondenti a particelle non accessibili o coperte da fitta vegetazione e quindi a visibilità nulla.

L'intensità applicata alla ricognizione sul campo è di circa 70 ha al giorno da tre persone. Restano ovviamente compresi in questo calcolo anche tutte le attività di documentazione sul campo delle evidenze archeologiche rinvenute nel corso della ricognizione nonché la raccolta dei reperti in corrispondenza di eventuali Unità Topografiche individuate e gli spostamenti necessari per raggiungere le singole particelle indagate.

La ricognizione sul campo è stata condotta in maniera sistematica indagando integralmente tutti i campi ricadenti all'interno dell'area presa in esame ad eccezione delle aree edificate o inaccessibili o di quelle a visibilità nulla. Ciascuna particella è stata indagata tramite strisciate parallele, con una distanza massima tra gli archeologi di 10 m. Nei casi di ricognizione in campi arati e senza vegetazione la distanza di partenza fra i ricognitori all'inizio di ogni strisciata è stata regolata nella maniera sopra descritta, mentre nei casi di terreni con vegetazione la distanza è stata adattata caso per caso. Nei casi di vigneti, peraltro molto pochi, gli archeologi si disponevano solitamente a filari alternati mentre all'interno di campi alberati, uliveti soprattutto, veniva occupato lo spazio tra un filare di alberi e l'altro. Anche nei casi di campi con coltivazioni di ortaggi la distanza tenuta fra gli archeologi è stata adattata agli spazi lasciati liberi dalle coltivazioni stesse in maniera da non causare loro alcun danno.

5.2 L'UTILIZZO DEL SUOLO

Per quanto concerne l'utilizzo del suolo e le coltivazioni incontrate nel corso della ricognizione sul campo, si riscontra una predominanza dell'uso dei terreni a seminativo a destinazione cerealicola, cui si aggiungono delle aree incolte o destinate a pascolo e una piccola parte destinate ad arboricoltura.

Analizzando nel dettaglio le percentuali di superficie interessata da ciascuna destinazione d'uso dei suoli rispetto al totale della superficie indagata, si nota come quella dei terreni destinati a

pascolo o incolti e quindi coperti da vegetazione spontanea sia pari a ha 30 circa pari al 9% circa della superficie totale presa in esame. I terreni in cui sono presenti colture cerealicole rappresentano la quasi totalità delle aree coltivate (77%). Una esigua quantità di superficie è destinata ad uliveti (4,5%).

Dai dati fin qui esposti è possibile evidenziare una scarsa varietà di destinazioni d'uso dei suoli (fig. 12), con una netta preferenza per le colture cerealicole rispetto alle altre. L'utilizzo del suolo, secondo le modalità esposte, risulta discretamente favorevole alle metodologie usate per le analisi archeologiche data le condizioni di visibilità delle superfici dei terreni, che in questo periodo dell'anno sono coperti da cereali. La visibilità risulta prevalentemente di grado basso (76,80% della superficie totale presa in esame).

I dati sono di seguito restituiti con grafici e tabelle i dati sopra esposti.

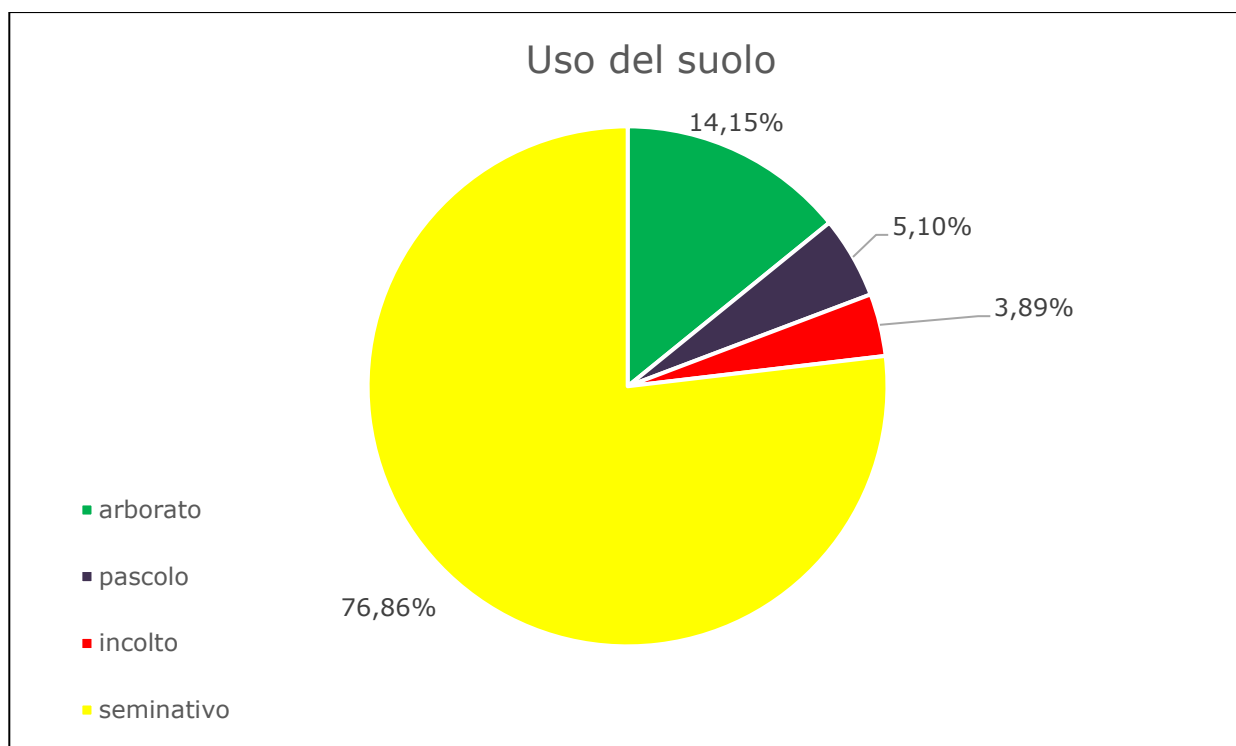


Fig. 12 - Grafico con percentuali dell'utilizzo del suolo. Sotto tabella con i valori in metri quadrati dei singoli utilizzi di suolo.

Uso del suolo	Area in m ²
arborato	484.224
pascolo	174.580
incolto	133.053
seminativo	2.630.614
	3.422.471

5.3 LA VISIBILITA'

Come già accennato in precedenza il lavoro sul campo è stato svolto in un periodo dell'anno favorevole per lo svolgimento di questo tipo di indagini grazie all'utilizzo del suolo in questa porzione di territorio e delle relative condizioni di visibilità.

Per la definizione delle condizioni di visibilità delle aree oggetto di ricognizione sono stati adottati tre diversi livelli, come di seguito specificato:

- **Visibilità alta (gradi 5 e 4):** per terreno arato o fresato.
- **Visibilità media (grado 3):** per colture allo stato iniziale della crescita o con resti di stoppie che consentono una visibilità parziale, ma buona.
- **Visibilità bassa (gradi 2 e 1):** per colture allo stato di crescita intermedia, con vegetazione spontanea o con resti di stoppie parzialmente coprenti, che consentono una visibilità limitata.
- **Visibilità nulla (grado 0):** per zone con coltivazione in avanzata fase di crescita che impediscono la visibilità del suolo, campi coperti da vegetazione spontanea, aree boschive con relativo sottobosco, particelle edificate.

La quantificazione della visibilità risulta però essere comunque un'operazione in cui la soggettività dell'archeologo riveste un ruolo importante. La visibilità delle evidenze di superficie, inoltre, è ampiamente influenzata anche da altri fattori come le condizioni oggettive di vegetazione e del terreno o le condizioni di luce.

Per questi motivi in questa sede si è scelto di accompagnare la semplice quantificazione del grado di visibilità con tutti i dati, ricavabili dall'osservazione diretta effettuata al momento stesso della ricognizione, relativi, oltre che all'utilizzo del suolo di cui si è trattato precedentemente nel paragrafo dedicato a questi aspetti, anche alla vegetazione e alle condizioni del terreno.

Di seguito sono riportate tutte queste informazioni sia in forma di grafico per una più pronta visualizzazione dei dati, in cui sono indicate le varie percentuali occupate da ciascuna tipologia rispetto all'area totale, sia in forma di tabella, in cui sono indicate la superficie in m² per ciascuna tipologia di vegetazione (*fig. 13*) e di visibilità (*fig. 14*). Per quanto riguarda invece la lavorazione del terreno, non sono stati riportati grafico e relativa tabella poiché i campi oggetto di indagine risultavano tutti caratterizzati da una superficie battuta.

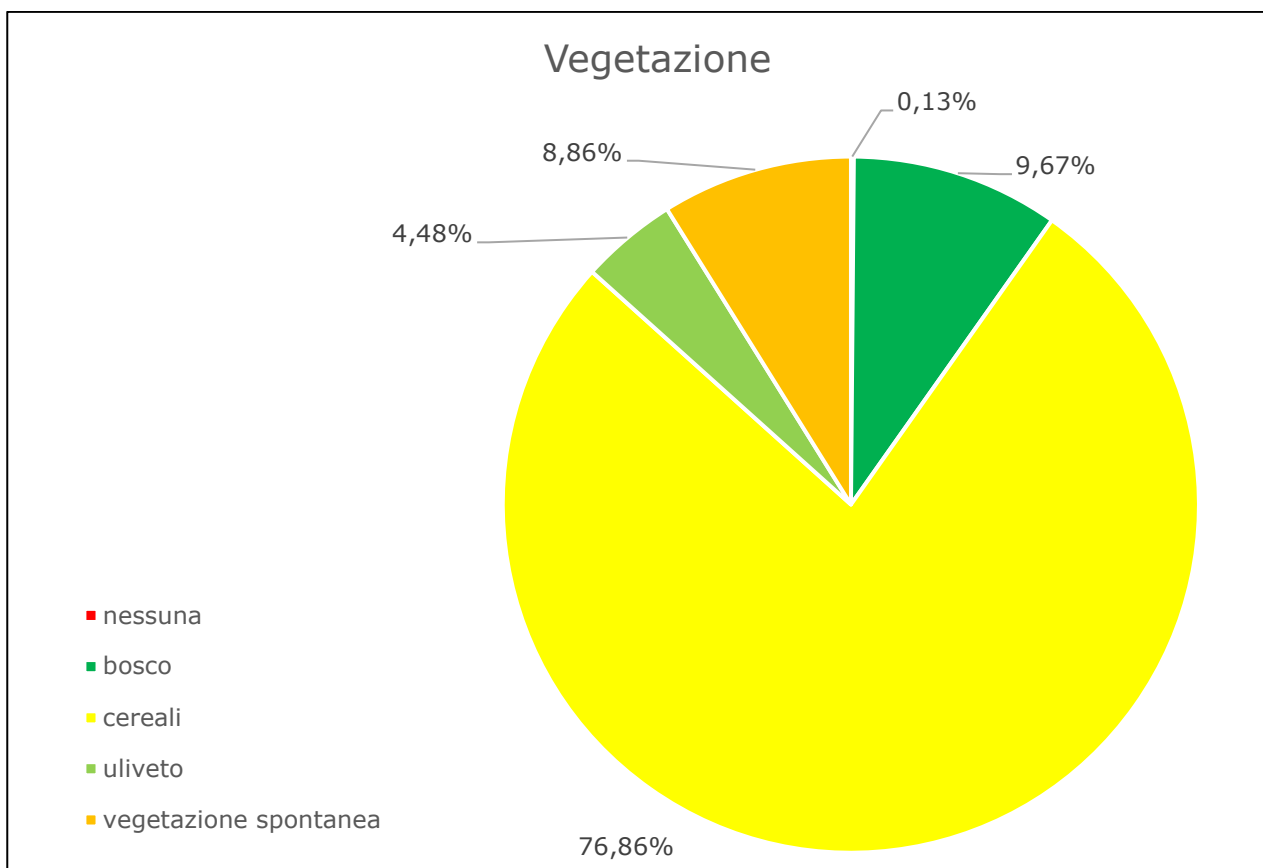


Fig. 13 - Grafico con percentuali della vegetazione. Sotto tabella con i valori in metri quadrati dei singoli tipi di vegetazione riscontrati.

Vegetazione	Area in m ²
nessuna	4.535
bosco	330.867
cereali	2.630.614
uliveto	153.357
vegetazione spontanea	303.098
	3.422.471

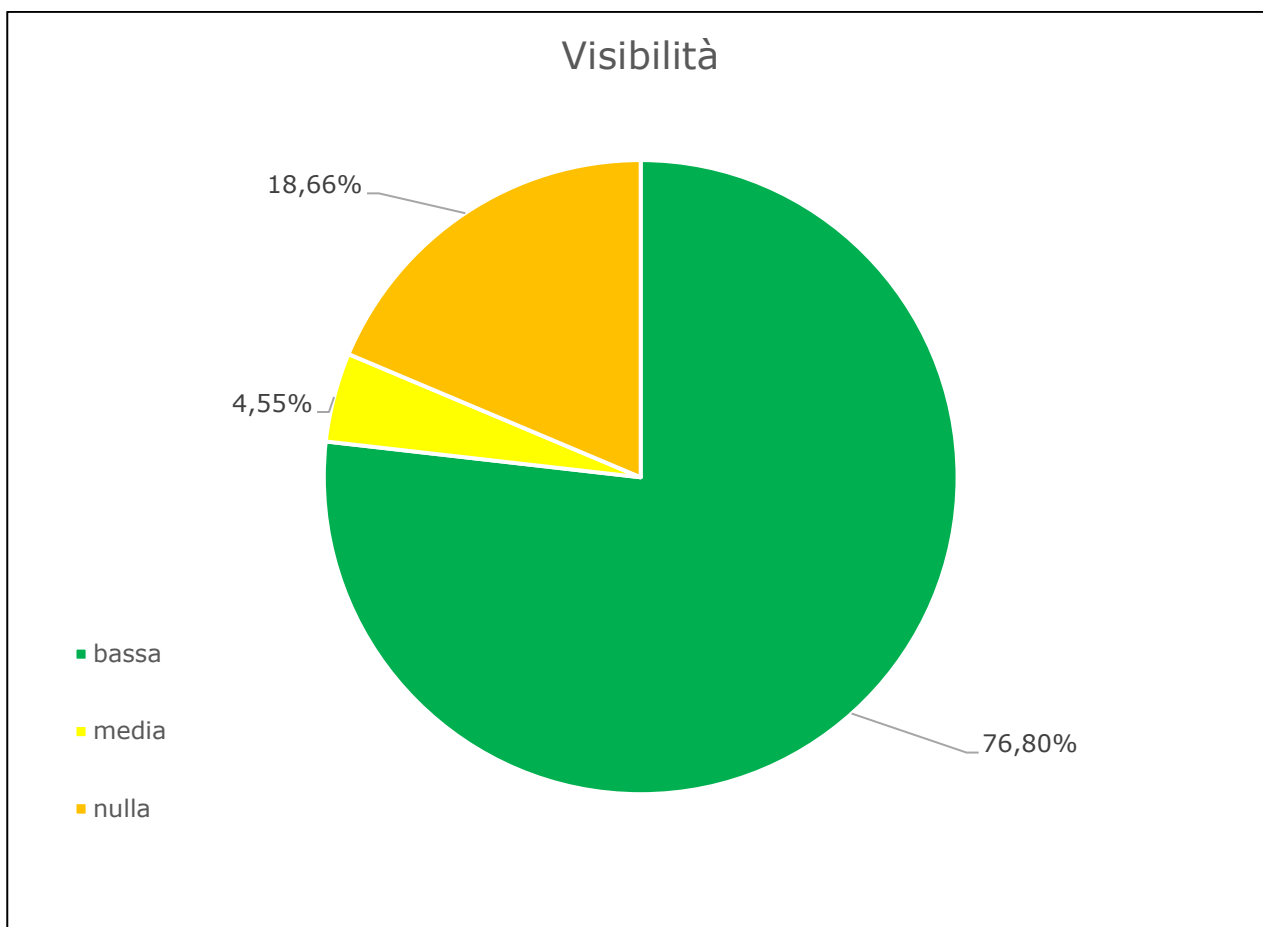


Fig. 14 - Grafico con percentuali relative alla visibilità riscontrata sul terreno e in basso la tabella con i valori in metri quadrati.

Visibilità	Area in m ²
bassa	2.628.408
media	155.563
nulla	638.500
	3.422.471

5.4 LA DOCUMENTAZIONE

La documentazione sul campo ha riguardato sia l'aspetto topografico-ambientale che quello della vera e propria documentazione scritta relativa alle evidenze di carattere archeologico rinvenute nel corso della ricognizione sul campo.

I dati raccolti durante la ricognizione sono stati registrati in una scheda standardizzata, denominata Schede di Unità di Superficie. Nelle Schede Unità di Superficie sono riportate le caratteristiche delle singole unità di ricognizione in cui è stato suddiviso l'intero progetto. Ogni scheda fornisce la localizzazione del tratto in esame, i dati cartografici (IGM e catastale), chiarimenti sulla metodologia adottata e sulle condizioni di visibilità, i dati ambientali relativi alle caratteristiche fisiche del territorio (geomorfologia, idrologia vegetazione e utilizzo del suolo) e le informazioni specifiche sulla singola unità ricognita relative ai limiti topografici, alle dimensioni, all'altitudine e ad eventuali segnalazioni (bibliografiche, di archivio, cartografiche o da foto aeree). Altro tipo di documentazione effettuata nel corso del lavoro sul campo è stata quella fotografica. Le fotografie sono state utilizzate per documentare l'attività sul campo, luoghi, le condizioni del terreno e della visibilità. Non sono state redatte le Schede di Unità Topografica, in quanto durante la ricognizione di superficie non sono stati individuate aree di dispersione di materiali corrispondenti a siti archeologici.

Il lavoro di documentazione, nelle fasi successive al lavoro sul campo, ha riguardato da un lato il riversamento in formato digitale dei dati raccolti sul campo in formato cartaceo, dall'altro l'elaborazione di un apposito progetto GIS (utilizzando Quantum GIS) per la gestione integrata alla cartografia di tutti i dati relativi alle particelle indagate (creazione di grafici relativi all'utilizzo del suolo, alla vegetazione ed alla visibilità) e l'elaborazione di tutta la cartografia allegata alla presente relazione (*fig. 16*). Le attività post-lavoro sul campo hanno inoltre riguardato la creazione degli elenchi delle fotografie allegate sia la stesura della presente relazione.

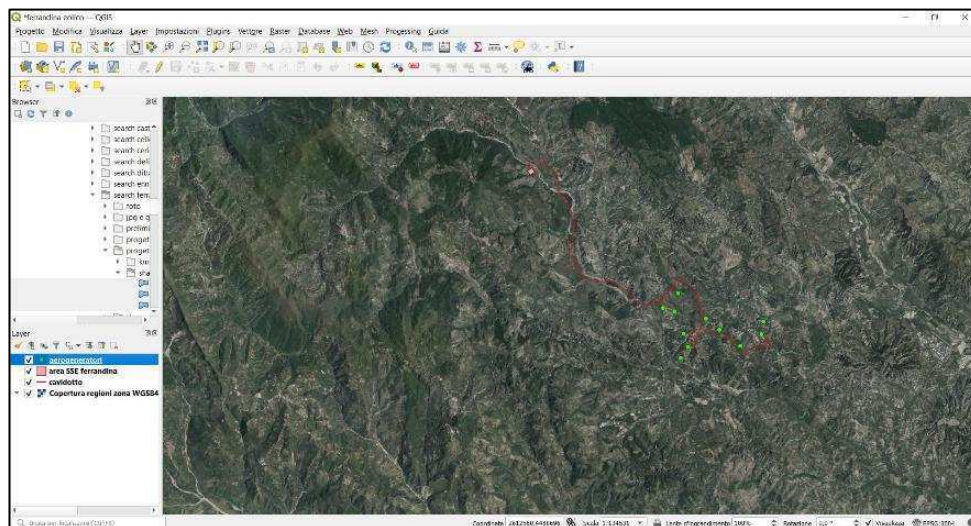


Fig. 16 - Schermata del progetto GIS realizzato con software OpenSource QGis versione 3.16.

5.5 SCHEDE DI UNITA' DI SUPERFICIE

SCHEDA DI UNITA' DI SUPERFICIE N. 1
LOCALIZZAZIONE GEOGRAFICA
Provincia: Matera
Comune: Ferrandina
Località: Raganelle, Manca Sanizza, Le Rocche, Masseria Scorpione, Piana di Garrozzo, Jazzo Scorpione, Piana di Santa Chiara, Manca del Tèrmito, Serra San Pietro, Manca La Pettola, Piana di Surrone, il Serrone
Opere in progetto: impianto per la produzione di energia da fonte eolica ed opere connesse.
Tipo settore: rurale
Strade di accesso: Strada Provinciale Ferrandina-Stigliano
DATI CARTOGRAFICI
IGM: Tavoletta 491 III
Catastale: Comune di Ferrandina, fogli 73-77, 83, 84, 86, 87.
METODOLOGIA DI RICOGNIZIONE
Numero di ricognizioni eseguite: 1
Metodo: tre ricognitori schierati ad una distanza di 10 m
Visibilità: bassa
DATI AMBIENTALI
Geomorfologia: l'area interessata dal progetto è localizzata in una porzione di territorio destinata alla coltivazione agricola e in parte coperta da vegetazione spontanea e boschi. Le aree destinate alla coltivazione agricola, nello specifico, nel periodo dell'anno in cui è stata effettuata la ricognizione sul campo, è destinata principalmente alla produzione di cereali. L'elevazione oscilla tra i 298 m s.l.m. dell'area prossima all'aerogeneratore 3 (zona di massima elevazione) e i 98 m s.l.m. che caratterizzano il tratto di cavidotto in località Cugno Lungo, in un'area collinare caratterizzata da pendenze talvolta anche molto accentuate
Geologia: L'area dell'U.SUP. 1 è caratterizzata da un'unica formazione geologica, cioè da depositi marini costituiti da sedimenti argillosi formati tra il Pleistocene e il Pliocene
Idrologia: l'area è caratterizzata dalla presenza di una fitta rete di bacini idrici di piccola portata per la maggior parte a carattere stagionale orientati in senso NW-SE. Il corso d'acqua di maggiore portata è il fiume Cavone/Salandrella che, nella porzione di territorio interessata dal progetto scorre in direzione SE e nel cui fondovalle corre la Strada Provinciale 4 lungo il cui tracciato è prevista la realizzazione del tratto di cavidotto esterno al parco eolico.
Utilizzo del suolo: Agricolo, ad uso prevalentemente seminativo.
Tipo di vegetazione e/o colture prevalenti: cereali e vegetazione spontanea.
UNITA' DI SUPERFICIE
Limiti topografici e dimensioni: L'U.SUP. è costituita dalla porzione di territorio in cui ricadono gli undici aerogeneratori, così collocati:

- Aerogeneratore 1, si trova in località Raganelle in un'area la cui superficie è destinata alla coltivazione di cereali, a circa 430 m a NW di Casa Alvarenzio, a circa 270 m a NE della Strada Provinciale 4 e a 750 m circa a SSW dell'aerogeneratore 2.
- Aerogeneratore 2, si trova in località fosso Raganelle-Manca Sanizza in un'area la cui superficie è destinata alla coltivazione di cereali, a circa 400 m a SE del Fosso Raganelle, a circa 570 m a WNW di Masseria Caputi e a 750 m circa a NNE dell'aerogeneratore 1.
- Aerogeneratore 3, si trova in località Le Rocche in un'area la cui superficie è destinata alla coltivazione di cereali, a circa 930 m a W di Masseria Cirògica, a circa 300 m a WNW del Fosso Raganelle e a 780 m circa a NNW dell'aerogeneratore 2.
- Aerogeneratore 4, si trova in località Masseria Scorpione-Piana di Garrozzo in un'area la cui superficie è destinata alla coltivazione di cereali, a circa m 600 a ENE di Masseria Scorpione, a circa 1 km a ESE di Jazzo Scorpione e a 700 m circa a ESE dell'aerogeneratore 5.
- Aerogeneratore 5, si trova in località Jazzo Scorpione in un'area la cui superficie è destinata alla coltivazione di cereali, a circa m 320 a E di Jazzo Scorpione, a circa m 490 a N di Masseria Scorpione e a 700 m circa a WNW dell'aerogeneratore 4.
- Aerogeneratore 6, si trova in località Piana di Santa Chiara in un'area la cui superficie è destinata alla coltivazione di cereali, a circa 280 m a NW del Fosso del Turo e a circa 330 m a SE di Casa Pepe e a circa 450 m a SE della Strada Provinciale Ferrandina-Stigliano e a 1,1 km circa a NE dell'aerogeneratore 5.
- Aerogeneratore 7, si trova in località Manca del Tèrmito in un'area la cui superficie è destinata alla coltivazione di cereali, a circa 770 m a NW di Masseria Panacce, a circa 780 m a NE di Timpa Scarace e a 1 km circa a NW dell'aerogeneratore 8.
- Aerogeneratore 8, si trova in località Manca del Tèrmito in un'area la cui superficie è destinata alla coltivazione di cereali, a circa 770 m a NW di Masseria Panacce e a circa 780 m a NE di Timpa Scarace e a 1 km circa a SE dell'aerogeneratore 7.
- Aerogeneratore 9, si trova in località Serra San Pietro in un'area la cui superficie è destinata alla coltivazione di cereali, a circa 800 m a NW di Cugno Lungo e a circa 870 m a SSW di Masseria Calderazzo e a 1,5 km circa a SE dell'aerogeneratore 8.
- Aerogeneratore 10, si trova in località Manca La Pettola e Piana di Surrone, in un'area la cui superficie è destinata alla coltivazione di cereali, a circa 1 km a E di Masseria Amiano e a circa 760 m a W di Masseria Calderazzo e a 700 m circa a S dell'aerogeneratore 11.
- Aerogeneratore 11, si trova in località il Serrone, in un'area la cui superficie è destinata alla coltivazione di cereali, a circa 400 m a N di Piana di Surrone e a 700 m circa a N dell'aerogeneratore 10.

Altitudine: 298 m s.l.m. nell'area prossima all'aerogeneratore 3 (zona di massima elevazione) e i 98 m s.l.m. che caratterizzano il tratto di cavidotto in località Cugno Lungo

Motivazione della scelta: Logistica e di uniformità morfologica territoriale

Segnalazione bibliografica: Capitolo 3 – Siti noti e viabilità antica

Segnalazione di archivio: -

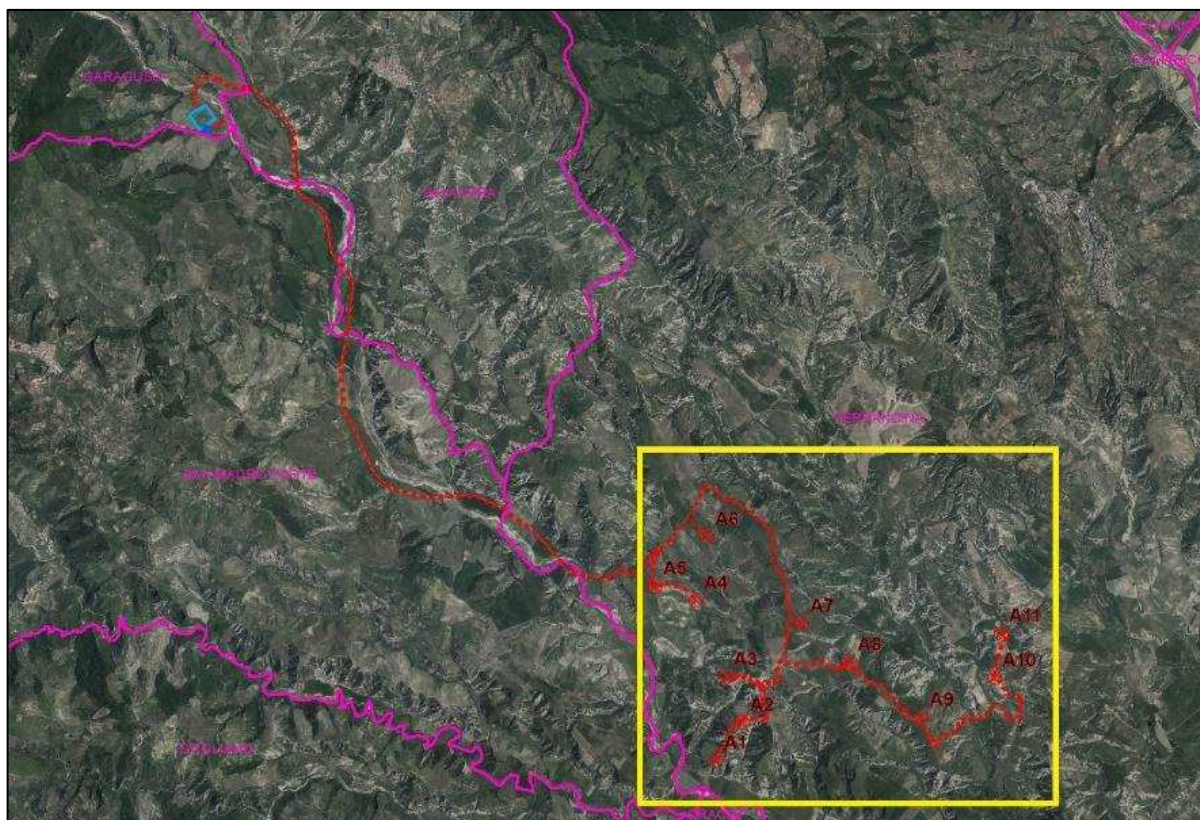
Segnalazione cartografica: -

Segnalazione da foto aerea: -

Rimando a: foto 1-43; vedi relazione

Carta delle Presenze Archeologiche: Vedi Tavv. II e VII, capitoli 3 e 6.

TMA nn.:



Inquadramento dell'Unità di Superficie 1.

SCHEDA DI UNITA' DI SUPERFICIE N. 2
LOCALIZZAZIONE GEOGRAFICA
Provincia: Matera
Comune: Ferrandina, San Mauro Forte
Località: Cicchitella, Fosso Rusciano, Manca La Pietrizza, Serra La Vena, Jazzo dell'Acqua Salsa, Piano dell'Olivo, Jazzo Piano Miele, Petto di Seggio, Torrente Salandrella, Masseria Belmonte, Masseria Alitto
Opere in progetto: impianto per la produzione di energia da fonte eolica ed opere ad esso connesse
Tipo settore: rurale
Strade di accesso: Strada Provinciale Ferrandina-Stigliano, Strada Provinciale 4
DATI CARTOGRAFICI
IGM: Tavoleta 491 III, 490 I
Catastale: Comune di Ferrandina, fogli 73, 75, 65; Comune di San Mauro Forte, fogli 7, 24, 25, 29, 30.
METODOLOGIA DI RICOGNIZIONE
Numero di ricognizioni eseguite: 1
Metodo: tre ricognitori schierati ad una distanza di 10 m
Visibilità: bassa
DATI AMBIENTALI
Geomorfologia: l'area interessata dal progetto è localizzata in una porzione di territorio destinata alla coltivazione agricola e in parte coperta da vegetazione spontanea e boschi. Le aree destinate alla coltivazione agricola, nello specifico, nel periodo dell'anno in cui è stata effettuata la ricognizione sul campo, è destinata principalmente alla produzione di cereali. L'elevazione oscilla tra i 298 m s.l.m. dell'area prossima all'aerogeneratore 3 (zona di massima elevazione) e i 98 m s.l.m. che caratterizzano il tratto di cavidotto in località Cugno Lungo, in un'area collinare caratterizzata da pendenze talvolta anche molto accentuate.
Geologia: L'area dell'U.SUP. 2 è caratterizzata da depositi alluvionali recenti risalenti all'Olocene.
Idrologia: l'area è caratterizzata dalla presenza di una fitta rete di bacini idrici di piccola portata per la maggior parte a carattere stagionale orientati in senso NW-SE. Il corso d'acqua di maggiore portata è il fiume Cavone/Salandrella che, nella porzione di territorio interessata dal progetto scorre in direzione SE e nel cui fondovalle corre la Strada Provinciale 4 lungo il cui tracciato è prevista la realizzazione del tratto di cavidotto esterno al parco eolico.
Utilizzo del suolo: Agricolo, ad uso prevalentemente seminativo.
Tipo di vegetazione e/o colture: cereali.
UNITA' DI SUPERFICIE

Limiti topografici e dimensioni: L'U.SUP. è costituita dalla porzione di territorio attraversata dal tratto meridionale e centrale del cavidotto esterno al parco lungo 8 km circa, che ha origine in località Cicchitella a circa 500 m a N dell'aerogeneratore 5 e lungo il suo percorso fino alla stazione elettrica attraversa i territori comunali di Ferrandina, San Mauro Forte, Salandra e Garaguso. Da località Cicchitella il cavidotto segue in direzione SW per circa 1,2 km il tracciato della Strada Provinciale Ferrandina Stigliano fino a raggiungere in località Fosso Rusciano-Manca La Petrizza, la Strada Provinciale 4, della quale ne seguirà il tracciato fino alla località Isca. IL cavidotto seguirà poi per un lungo tratto il corso di quest'ultima per circa 11 km in direzione NW. In località Ponte Cristallo il cavidotto cambia direzione e prosegue verso W lungo la strada per Garaguso per 2 km circa, fino a raggiungere la sottostazione elettrica (di forma rettangolare ed estesa su una superficie di circa 6.400 m²) in località Canalecchia, collocata da progetto in adiacenza alla Stazione Elettrica Terna Esistente immediatamente a S di quest'ultima.

Altitudine: 298 m s.l.m. nell'area prossima all'aerogeneratore 3 (zona di massima elevazione) e i 98 m s.l.m. che caratterizzano il tratto di cavidotto in località Cugno Lungo

Motivazione della scelta: Logistica e di uniformità morfologica territoriale

Segnalazione bibliografica: Capitolo 3 – Siti noti e viabilità antica

Segnalazione di archivio: -

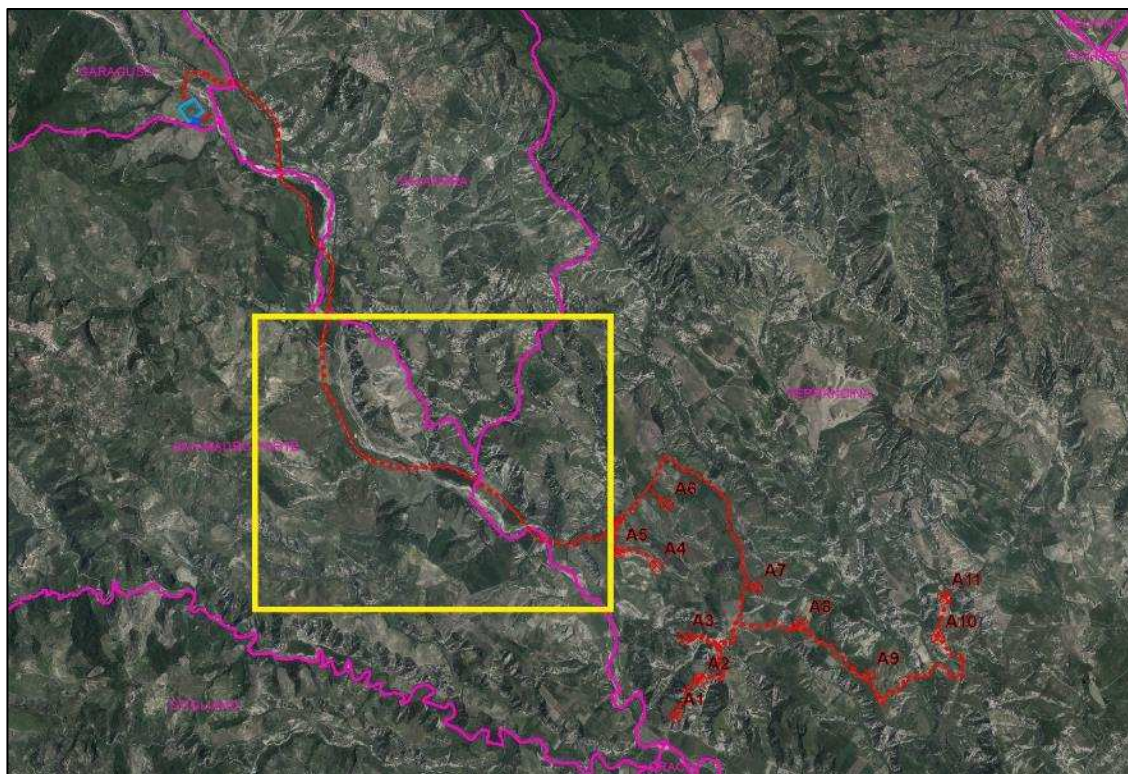
Segnalazione cartografica: -

Segnalazione da foto aerea: -

Rimando a: foto 44-55

Carta delle Presenze Archeologiche: Vedi Tavv. II e VII, capitoli 3 e 6.

TMA nn.:



Inquadramento dell'Unità di Superficie 2.

SCHEDA DI UNITA' DI SUPERFICIE N. 3
LOCALIZZAZIONE GEOGRAFICA
Provincia: Matera
Comune: San Mauro Forte, Salandra, Garaguso
Località: Isca di Croce, Isca Fornace, il Pantanello, torrente Salandrella, Masseria Molino, Ponte Cristallo, Guardiola di Sotto, Ponte della Salandrella, Casa Vaccarizza, Canalecchia
Opere in progetto: impianto per la produzione di energia da fonte eolica ed opere ad esso connesse
Tipo settore: rurale
Strade di accesso: Strada Provinciale 4
DATI CARTOGRAFICI
IGM: Tavoletta 490 II, 490 I
Catastale: Comune di Salandra, fogli 38, 44, 45, 50, 51; Comune di San Mauro Forte, foglio 7; Garaguso, fogli 43, 47
METODOLOGIA DI RICOGNIZIONE
Numero di ricognizioni eseguite: 1
Metodo: tre ricognitori schierati ad una distanza di 10 m
Visibilità: bassa
DATI AMBIENTALI
Geomorfologia: l'area interessata dal progetto è localizzata in una porzione di territorio destinata alla coltivazione agricola e in parte coperta da vegetazione spontanea e boschi. Le aree destinate alla coltivazione agricola, nello specifico, nel periodo dell'anno in cui è stata effettuata la ricognizione sul campo, è destinata principalmente alla produzione di cereali. L'elevazione oscilla tra i 298 m s.l.m. dell'area prossima all'aerogeneratore 3 (zona di massima elevazione) e i 98 m s.l.m. che caratterizzano il tratto di cavidotto in località Cugno Lungo, in un'area collinare caratterizzata da pendenze talvolta anche molto accentuate
Geologia: L'area dell'U.SUP. 3 è caratterizzata da depositi alluvionali recenti risalenti all'Olocene.
Idrologia: l'area è caratterizzata dalla presenza di una fitta rete di bacini idrici di piccola portata per la maggior parte a carattere stagionale orientati in senso NW-SE. Il corso d'acqua di maggiore portata è il fiume Cavone/Salandrella che, nella porzione di territorio interessata dal progetto scorre in direzione SE e nel cui fondovalle corre la Strada Provinciale 4 lungo il cui tracciato è prevista la realizzazione del tratto di cavidotto esterno al parco eolico.
Utilizzo del suolo: Agricolo, ad uso prevalentemente seminativo.
Tipo di vegetazione e/o colture: cereali, uliveti
UNITA' DI SUPERFICIE
Limiti topografici e dimensioni: L'U.SUP. è costituita dalla porzione di territorio attraversata

dal tratto centrale e settentrionale del cavidotto esterno al parco lungo circa 8 km fino alla sottostazione elettrica. Il è compreso tra la località Isca Fornace e la sottostazione elettrica che sorgerà in località Canalecchia e seguirà, anche in questo tratto, il corso della SP 4 per ulteriori 8 km in direzione NW. In località Ponte Cristallo il cavidotto cambia direzione e prosegue verso W lungo la strada per Garaguso per circa 2 km, fino a raggiungere la sottostazione elettrica (di forma rettangolare ed estesa su una superficie di circa 6.400 m²) in località Canalecchia, collocata da progetto in adiacenza alla Stazione Elettrica Terna Esistente immediatamente a S di quest'ultima.

Altitudine: 298 m s.l.m. nell'area prossima all'aerogeneratore 3 (zona di massima elevazione) e i 98 m s.l.m. che caratterizzano il tratto di cavidotto in località Cugno Lungo

Motivazione della scelta: Logistica e di uniformità morfologica territoriale

Segnalazione bibliografica: Capitolo 3 – Siti noti e viabilità antica

Segnalazione di archivio: -

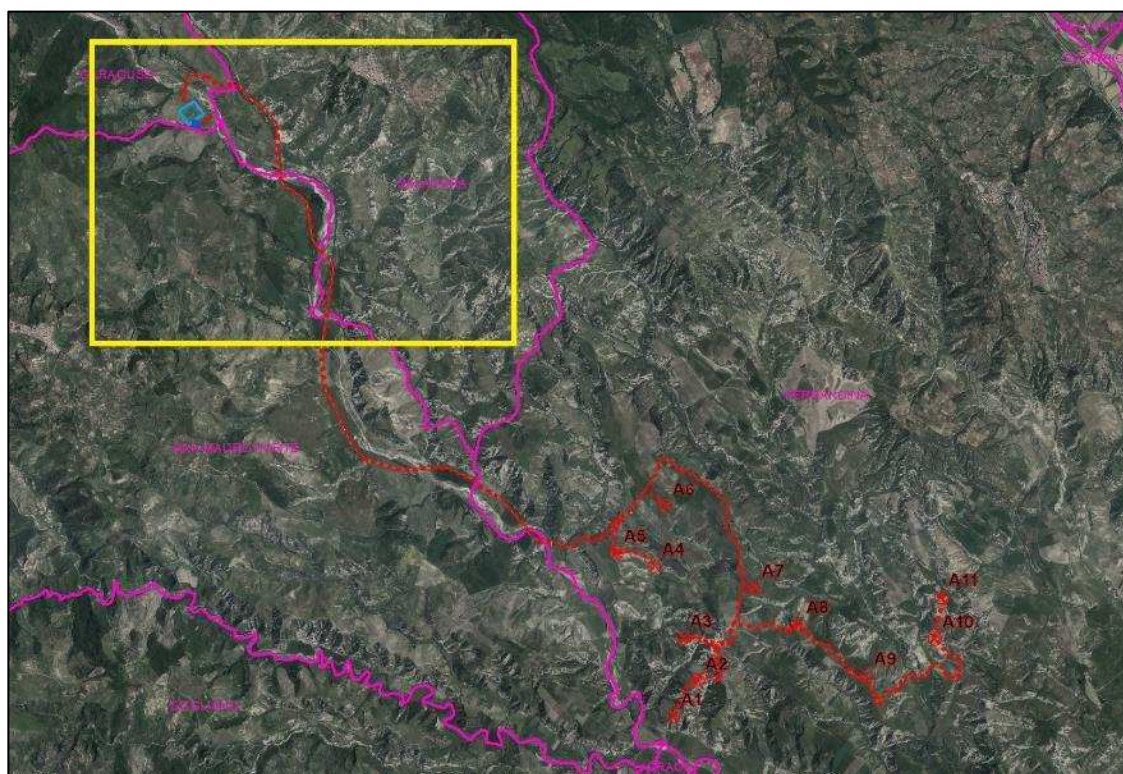
Segnalazione cartografica: -

Segnalazione da foto aerea: -

Rimando a: foto 56-63

Carta delle Presenze Archeologiche: Vedi Tavv. II e VII, capitoli 3 e 6.

TMA nn.:



Inquadramento dell'Unità di Superficie 3.

6. LA VALUTAZIONE DEL RISCHIO ARCHEOLOGICO

Il progetto analizzato in questa sede propone la realizzazione di un parco eolico (costituito da undici aerogeneratori) ed opere ad esso connesse. Le opere in progetto interesseranno il settore centro-occidentale della provincia di Matera e, nello specifico, i settori sud-occidentale del territorio comunale di Ferrandina, per quanto concerne gli aerogeneratori, e i settori sud-occidentale del territorio comunale di Ferrandina, quello orientale di San Mauro Forte, quello sud-occidentale di Salandra e quello sud-orientale di Garaguso, per quanto riguarda il cavidotto esterno al parco, lungo circa 15 km. L'area della sottostazione elettrica è localizzata nel settore sud-orientale del territorio comunale di Garaguso.

La valutazione del rischio archeologico è stata strutturata in differenti gradi relativi al potenziale impatto che le opere in progetto presentano rispetto alle evidenze individuate attraverso l'associazione dei dati emersi dall'indagine di superficie, dall'analisi delle foto aeree e dalle fonti bibliografiche.

Sono stati adottati, quindi, i seguenti parametri dell'impatto archeologico, basati sulla distanza e sull'entità dei siti individuati rispetto alle opere in progetto:

Alto: il progetto ricade in un'area interessata da evidenze archeologiche.

Medio: il progetto si colloca nelle immediate vicinanze del contesto archeologico.

Basso: il progetto è ubicato a distanza sufficiente da garantire un'adeguata tutela a contesti archeologici.

Nulla: le opere in progetto si collocano in un'area in cui non è stata attestata la presenza di evidenze archeologiche. L'indicazione di rischio nullo si basa sull'assenza, nelle vicinanze del progetto, di contesti archeologici noti da fonti bibliografiche, foto aeree o survey, e pertanto non esclude la possibilità che in corso d'opera possano essere intercettate eventuali presenze archeologiche conservate nel sottosuolo.

Dal punto di vista della resa grafica, nella Carta del Rischio Archeologico (Tav. V), l'area per la quale si esprime un grado di rischio alto è indicata con il colore rosso, quella con rischio medio con il colore arancione, quella con rischio basso con il colore giallo. Le aree a rischio nullo sono indicate con colore verde.

Si presenta di seguito la valutazione dell'impatto delle opere in progetto sul patrimonio archeologico della porzione di territorio oggetto di studio.

Rischio alto

Il grado di rischio alto non è stato espresso per alcuna delle particelle indagate.

Rischio medio

Il grado di rischio medio non è stato espresso per alcuna delle particelle indagate.

Rischio basso

Il grado di rischio basso è stato espresso per tutte le particelle indagate. In relazione alla presenza delle evidenze descritte nel capitolo 3 relativo ai siti noti e alla viabilità antica e moderna, infatti, le opere in progetto non interferiscono direttamente né sono prossime ai siti noti individuati, che sono stati individuati in aree distanti da quelle interessate dalla realizzazione delle opere in progetto.

Nello specifico, i siti più prossimi alle opere in progetto sono SMF009 - localizzato a circa 450 m a W del cavidotto esterno al parco - e SMF10, che si trova a 650 m circa a S del cavidotto esterno al parco.

Per quanto riguarda la viabilità moderna (*fig. 17*), le opere in progetto sono vicine o interferiscono direttamente con i tratturi in tre settori:

- l'estremo tratto settentrionale del cavidotto esterno al parco, in prossimità dell'area della sottostazione elettrica in località Ponte della Salandrella, interseca il tratturo comunale San Mauro Forte-Salandra, orientato WSW-ENE;
- il tratto di cavidotto esterno al parco compreso tra le località Pantanello e Masseria Molino si trova ad una distanza di circa 70 m a E del tracciato del Tratturo di San Leonardo proveniente da SW da San Mauro Forte e diretto a NE;
- il tratto di cavidotto esterno al parco compreso tra le località Pantanello e Costa Petrizza si trova ad una distanza di circa 200 m a N del tracciato del Tratturo Stigliano Ferrandina proveniente da SW.

Rischio nullo

Il grado di rischio nullo non è stato espresso per alcuna delle particelle indagate.

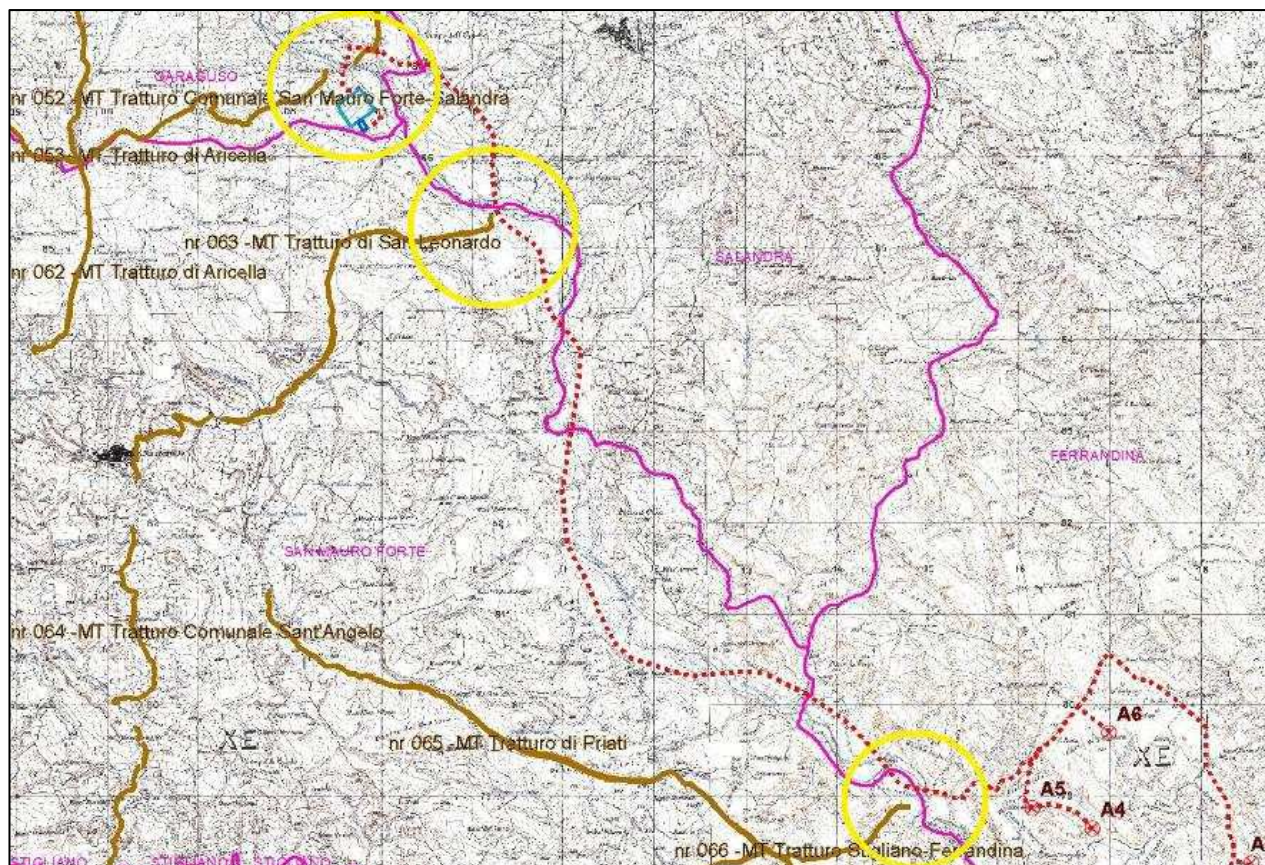


Fig. 17 - Dettaglio dei settori (in giallo) del cavidotto esterno prossimi alla viabilità moderna su base IGM 1954.

6.1 TABELLA RIASSUNTIVA DEI DATI RELATIVI ALLE PARTICELLE INDAGATE

Foglio	Particella	Utilizzo del suolo	Vegetazione	Lavorazione del terreno	Visibilità	Comune	Grado di rischio	Area in m ²
87	15	seminativo	cereali	battuto	bassa	Ferrandina	basso	479
87	15	seminativo	cereali	battuto	bassa	Ferrandina	basso	10.666
87	41	seminativo	cereali	battuto	bassa	Ferrandina	basso	5.587
87	19	seminativo	cereali	battuto	bassa	Ferrandina	basso	3.657
87	17	seminativo	cereali	battuto	bassa	Ferrandina	basso	8.921
87	20	seminativo	cereali	battuto	bassa	Ferrandina	basso	39.722
87	45	pascolo	cereali	battuto	bassa	Ferrandina	basso	1.591
87	223	pascolo	cereali	battuto	bassa	Ferrandina	basso	1.988
87	191	pascolo	cereali	battuto	bassa	Ferrandina	basso	930
87	97	seminativo	cereali	battuto	bassa	Ferrandina	basso	16.321
87	39	seminativo	cereali	battuto	bassa	Ferrandina	basso	1.679
87	42	arborato	uliveto	battuto	media	Ferrandina	basso	6.629
87	198	seminativo	cereali	battuto	bassa	Ferrandina	basso	14.110
87	11	seminativo	cereali	battuto	bassa	Ferrandina	basso	17.412
87	230	seminativo	cereali	battuto	bassa	Ferrandina	basso	9.767
87	14	seminativo	cereali	battuto	bassa	Ferrandina	basso	5.802
87	sn	seminativo	cereali	battuto	bassa	Ferrandina	basso	2.139
87	82	seminativo	cereali	battuto	bassa	Ferrandina	basso	11.099
87	39	seminativo	cereali	battuto	bassa	Ferrandina	basso	10.609
87	42	seminativo	cereali	battuto	bassa	Ferrandina	basso	9.324
87	48	seminativo	cereali	battuto	bassa	Ferrandina	basso	1.314
87	45	seminativo	cereali	battuto	bassa	Ferrandina	basso	45.169
87	48	seminativo	cereali	battuto	bassa	Ferrandina	basso	9.806,
87	50	seminativo	cereali	battuto	bassa	Ferrandina	basso	3.452
87	37	seminativo	cereali	battuto	bassa	Ferrandina	basso	1.347
87	33	arborato	uliveto	battuto	media	Ferrandina	basso	6.296
76	249	seminativo	cereali	battuto	bassa	Ferrandina	basso	22.002
76	274	seminativo	cereali	battuto	bassa	Ferrandina	basso	14.345
76	247	seminativo	cereali	battuto	bassa	Ferrandina	basso	11.978
76	245	seminativo	cereali	battuto	bassa	Ferrandina	basso	4.092
76	245	seminativo	cereali	battuto	bassa	Ferrandina	basso	1.021
76	249	seminativo	cereali	battuto	bassa	Ferrandina	basso	17.715
76	280	seminativo	cereali	battuto	bassa	Ferrandina	basso	11.903
76	270	seminativo	cereali	battuto	bassa	Ferrandina	basso	7.819
76	125	seminativo	cereali	battuto	bassa	Ferrandina	basso	5.052
76	218	seminativo	cereali	battuto	bassa	Ferrandina	basso	9.856
76	214	seminativo	cereali	battuto	bassa	Ferrandina	basso	20.274
76	213	seminativo	cereali	battuto	bassa	Ferrandina	basso	18.400
76	232	seminativo	cereali	battuto	bassa	Ferrandina	basso	10.585
76	173	seminativo	cereali	battuto	bassa	Ferrandina	basso	4.797
76	284	arborato	uliveto	battuto	media	Ferrandina	basso	2.673
76	172	seminativo	cereali	battuto	bassa	Ferrandina	basso	7.591
76	167	seminativo	cereali	battuto	bassa	Ferrandina	basso	558
76	46	seminativo	cereali	battuto	bassa	Ferrandina	basso	9.102
76	251	arborato	uliveto	battuto	media	Ferrandina	basso	3.560
76	2	seminativo	cereali	battuto	bassa	Ferrandina	basso	7.559
76	40	arborato	uliveto	battuto	media	Ferrandina	basso	2.000
76	40	seminativo	cereali	battuto	bassa	Ferrandina	basso	30.026
76	76	arborato	uliveto	battuto	media	Ferrandina	basso	1.793
76	211	seminativo	cereali	battuto	bassa	Ferrandina	basso	12.411
76	5	arborato	uliveto	battuto	media	Ferrandina	basso	6.656
76	207	seminativo	cereali	battuto	bassa	Ferrandina	basso	7.289
75	107	arborato	uliveto	battuto	media	Ferrandina	basso	4.371
76	206	seminativo	cereali	battuto	bassa	Ferrandina	basso	5.491

76	1	seminativo	cereali	battuto	bassa	Ferrandina	basso	1.294
76	222	seminativo	cereali	battuto	bassa	Ferrandina	basso	8.580
76	58	seminativo	cereali	battuto	bassa	Ferrandina	basso	3.909
84	1	seminativo	cereali	battuto	bassa	Ferrandina	basso	1.692
84	135	seminativo	cereali	battuto	bassa	Ferrandina	basso	720
84	117	seminativo	cereali	battuto	bassa	Ferrandina	basso	8.857
84	299	seminativo	cereali	battuto	bassa	Ferrandina	basso	2.328
83	4	seminativo	cereali	battuto	bassa	Ferrandina	basso	10.084
83	51	seminativo	cereali	battuto	bassa	Ferrandina	basso	1.372
83	52	seminativo	cereali	battuto	bassa	Ferrandina	basso	15.476
83	53	seminativo	cereali	battuto	bassa	Ferrandina	basso	18.653
83	58	seminativo	cereali	battuto	bassa	Ferrandina	basso	23.881
83	57	seminativo	cereali	battuto	bassa	Ferrandina	basso	25.429
75	66	seminativo	cereali	battuto	bassa	Ferrandina	basso	16.522
75	66	seminativo	cereali	battuto	bassa	Ferrandina	basso	1.335
75	48	seminativo	cereali	battuto	bassa	Ferrandina	basso	50.907
76	93	seminativo	cereali	battuto	bassa	Ferrandina	basso	7.739
76	193	seminativo	cereali	battuto	bassa	Ferrandina	basso	1.364
76	192	seminativo	cereali	battuto	bassa	Ferrandina	basso	542
76	258	seminativo	cereali	battuto	bassa	Ferrandina	basso	787
76	191	arborato	uliveto	battuto	media	Ferrandina	basso	336
76	190	arborato	uliveto	battuto	media	Ferrandina	basso	2.184
76	189	arborato	uliveto	battuto	media	Ferrandina	basso	1.089
76	49	seminativo	cereali	battuto	bassa	Ferrandina	basso	4.490
76	57	seminativo	cereali	battuto	bassa	Ferrandina	basso	9.007
76	95	seminativo	cereali	battuto	bassa	Ferrandina	basso	4.460
75	228	arborato	uliveto	battuto	media	Ferrandina	basso	2.998
75	89	arborato	uliveto	battuto	media	Ferrandina	basso	2.512
75	240	seminativo	cereali	battuto	bassa	Ferrandina	basso	12.858
75	114	seminativo	cereali	battuto	bassa	Ferrandina	basso	11.318
74	15	seminativo	cereali	battuto	bassa	Ferrandina	basso	970
74	135	arborato	uliveto	battuto	media	Ferrandina	basso	10.913
76	116	seminativo	cereali	battuto	bassa	Ferrandina	basso	20.760
76	43	seminativo	cereali	battuto	bassa	Ferrandina	basso	9.799
76	116	seminativo	cereali	battuto	bassa	Ferrandina	basso	2.036
76	42	seminativo	cereali	battuto	bassa	Ferrandina	basso	79.475
76	116	seminativo	cereali	battuto	bassa	Ferrandina	basso	8.482
76	33	seminativo	cereali	battuto	bassa	Ferrandina	basso	1.289
73	4	arborato	uliveto	battuto	media	Ferrandina	basso	5.347
73	7	seminativo	cereali	battuto	bassa	Ferrandina	basso	22.850
73	50	seminativo	cereali	battuto	bassa	Ferrandina	basso	4.132
73	132	seminativo	cereali	battuto	bassa	Ferrandina	basso	26.976
73	133	seminativo	cereali	battuto	bassa	Ferrandina	basso	611
73	106	seminativo	cereali	battuto	bassa	Ferrandina	basso	21.912
73	52	seminativo	cereali	battuto	bassa	Ferrandina	basso	3.082
73	51	seminativo	cereali	battuto	bassa	Ferrandina	basso	966
73	130	seminativo	cereali	battuto	bassa	Ferrandina	basso	1.229
73	9	seminativo	cereali	battuto	bassa	Ferrandina	basso	1.327
73	8	arborato	uliveto	battuto	media	Ferrandina	basso	10.009
73	2	arborato	uliveto	battuto	media	Ferrandina	basso	1.713
66	71	seminativo	cereali	battuto	bassa	Ferrandina	basso	3.781
66	101	seminativo	cereali	battuto	bassa	Ferrandina	basso	1.292
66	195	seminativo	cereali	battuto	bassa	Ferrandina	basso	49.749
66	95	seminativo	cereali	battuto	bassa	Ferrandina	basso	1.274
66	104	seminativo	cereali	battuto	bassa	Ferrandina	basso	2.401
66	49	seminativo	cereali	battuto	bassa	Ferrandina	basso	3.934
66	15	seminativo	cereali	battuto	bassa	Ferrandina	basso	31.022
66	50	seminativo	cereali	battuto	bassa	Ferrandina	basso	543
66	214	seminativo	cereali	battuto	bassa	Ferrandina	basso	92

66	208	seminativo	cereali	battuto	bassa	Ferrandina	basso	1.201
73	182	seminativo	cereali	battuto	bassa	Ferrandina	basso	10.192
73	3	seminativo	cereali	battuto	bassa	Ferrandina	basso	8.603
73	30	seminativo	cereali	battuto	bassa	Ferrandina	basso	20.843
73	46	seminativo	cereali	battuto	bassa	Ferrandina	basso	9.390
73	202	seminativo	cereali	battuto	bassa	Ferrandina	basso	3.726
73	199	seminativo	cereali	battuto	bassa	Ferrandina	basso	22.176
73	183	seminativo	cereali	battuto	bassa	Ferrandina	basso	614
73	160	seminativo	cereali	battuto	bassa	Ferrandina	basso	6.479
73	143	seminativo	cereali	battuto	bassa	Ferrandina	basso	1.188
73	144	arborato	uliveto	battuto	media	Ferrandina	basso	1.173
73	143	seminativo	cereali	battuto	bassa	Ferrandina	basso	6.128
73	57	seminativo	cereali	battuto	bassa	Ferrandina	basso	5.904
73	58	seminativo	cereali	battuto	bassa	Ferrandina	basso	1.863
73	145	seminativo	cereali	battuto	bassa	Ferrandina	basso	6.836
73	72	seminativo	cereali	battuto	bassa	Ferrandina	basso	12.578
73	196	seminativo	cereali	battuto	bassa	Ferrandina	basso	150.777
73	146	seminativo	cereali	battuto	bassa	Ferrandina	basso	25.549
73	25	seminativo	cereali	battuto	bassa	Ferrandina	basso	10.117
73	26	seminativo	cereali	battuto	bassa	Ferrandina	basso	5.080
73	180	seminativo	cereali	battuto	bassa	Ferrandina	basso	6.909
73	157	seminativo	cereali	battuto	bassa	Ferrandina	basso	10.701
73	3	seminativo	cereali	battuto	bassa	Ferrandina	basso	11.032
73	137	seminativo	cereali	battuto	bassa	Ferrandina	basso	23.434
73	150	seminativo	cereali	battuto	bassa	Ferrandina	basso	1.747
73	137	seminativo	cereali	battuto	bassa	Ferrandina	basso	68.067
73	152	seminativo	cereali	battuto	bassa	Ferrandina	basso	82.728
73	56	seminativo	cereali	battuto	bassa	Ferrandina	basso	2.366
73	28	seminativo	cereali	battuto	bassa	Ferrandina	basso	8.984
73	55	seminativo	cereali	battuto	bassa	Ferrandina	basso	24.746
75	245	seminativo	cereali	battuto	bassa	Ferrandina	basso	564
75	247	seminativo	cereali	battuto	bassa	Ferrandina	basso	3.934
75	162	seminativo	cereali	battuto	bassa	Ferrandina	basso	3.698
75	291	seminativo	cereali	battuto	bassa	Ferrandina	basso	2.986
75	289	seminativo	cereali	battuto	bassa	Ferrandina	basso	98
75	293	seminativo	cereali	battuto	bassa	Ferrandina	basso	862
75	292	seminativo	cereali	battuto	bassa	Ferrandina	basso	9.408
65	19	seminativo	cereali	battuto	bassa	Ferrandina	basso	17.851
73	78	seminativo	cereali	battuto	bassa	Ferrandina	basso	4.116
30	80	seminativo	cereali	battuto	bassa	San Mauro Forte	basso	13.858
30	47	seminativo	cereali	battuto	bassa	San Mauro Forte	basso	10.288
30	94	seminativo	cereali	battuto	bassa	San Mauro Forte	basso	10.153
30	96	seminativo	cereali	battuto	bassa	San Mauro Forte	basso	8.550
65	217	seminativo	cereali	battuto	bassa	San Mauro Forte	basso	2.991
65	114	seminativo	cereali	battuto	bassa	San Mauro Forte	basso	1.750
65	115	seminativo	cereali	battuto	bassa	San Mauro Forte	basso	9.095
65	215	seminativo	cereali	battuto	bassa	San Mauro Forte	basso	6.764
65	218	seminativo	cereali	battuto	bassa	San Mauro Forte	basso	5.645
65	220	seminativo	cereali	battuto	bassa	San Mauro Forte	basso	2.643
65	118	seminativo	cereali	battuto	bassa	San Mauro Forte	basso	4.440

65	117	seminativo	cereali	battuto	bassa	San Mauro Forte	basso	1.014
65	121	seminativo	cereali	battuto	bassa	San Mauro Forte	basso	2.789
65	221	seminativo	cereali	battuto	bassa	San Mauro Forte	basso	3.561
65	223	seminativo	cereali	battuto	bassa	San Mauro Forte	basso	1.240
65	120	seminativo	cereali	battuto	bassa	San Mauro Forte	basso	646
65	239	seminativo	cereali	battuto	bassa	San Mauro Forte	basso	4.295
65	235	seminativo	cereali	battuto	bassa	San Mauro Forte	basso	3.939
65	226	seminativo	cereali	battuto	bassa	San Mauro Forte	basso	940
65	224	seminativo	cereali	battuto	bassa	San Mauro Forte	basso	923
65	237	seminativo	cereali	battuto	bassa	San Mauro Forte	basso	796
65	230	seminativo	cereali	battuto	bassa	San Mauro Forte	basso	363
65	238	seminativo	cereali	battuto	bassa	San Mauro Forte	basso	1.346
65	232	seminativo	cereali	battuto	bassa	San Mauro Forte	basso	658
65	227	seminativo	cereali	battuto	bassa	San Mauro Forte	basso	3.033
65	291	seminativo	cereali	battuto	bassa	San Mauro Forte	basso	13.141
65	23	seminativo	cereali	battuto	bassa	San Mauro Forte	basso	6.346
65	252	seminativo	cereali	battuto	bassa	San Mauro Forte	basso	2.674
65	253	seminativo	cereali	battuto	bassa	San Mauro Forte	basso	991
65	254	seminativo	cereali	battuto	bassa	San Mauro Forte	basso	3.109
65	241	seminativo	cereali	battuto	bassa	San Mauro Forte	basso	11.057
65	213	seminativo	cereali	battuto	bassa	San Mauro Forte	basso	1.682
25	85	seminativo	cereali	battuto	bassa	San Mauro Forte	basso	10.277
25	25	seminativo	cereali	battuto	bassa	San Mauro Forte	basso	305
25	97	seminativo	cereali	battuto	bassa	San Mauro Forte	basso	28.130
25	21	seminativo	cereali	battuto	bassa	San Mauro Forte	basso	610
25	87	seminativo	cereali	battuto	bassa	San Mauro Forte	basso	4.347
25	69	seminativo	cereali	battuto	bassa	San Mauro Forte	basso	3.588
25	89	seminativo	cereali	battuto	bassa	San Mauro Forte	basso	559
25	95	seminativo	cereali	battuto	bassa	San Mauro Forte	basso	731
25	43	seminativo	cereali	battuto	bassa	San Mauro Forte	basso	20.377
25	21	seminativo	cereali	battuto	bassa	San Mauro Forte	basso	1.551
25	83	seminativo	cereali	battuto	bassa	San Mauro Forte	basso	1.996
25	93	seminativo	cereali	battuto	bassa	San Mauro Forte	basso	276
25	40	seminativo	cereali	battuto	bassa	San Mauro Forte	basso	60

25	99	seminativo	cereali	battuto	bassa	San Mauro Forte	basso	5.416
30	86	seminativo	cereali	battuto	bassa	San Mauro Forte	basso	32.248
30	88	seminativo	cereali	battuto	bassa	San Mauro Forte	basso	6.050
30	92	seminativo	cereali	battuto	bassa	San Mauro Forte	basso	9.885
30	49	seminativo	cereali	battuto	bassa	San Mauro Forte	basso	5.510
29	166	seminativo	cereali	battuto	bassa	San Mauro Forte	basso	1.408
29	164	seminativo	cereali	battuto	bassa	San Mauro Forte	basso	1.650
29	101	seminativo	cereali	battuto	bassa	San Mauro Forte	basso	722
29	170	seminativo	cereali	battuto	bassa	San Mauro Forte	basso	17.060
29	168	seminativo	cereali	battuto	bassa	San Mauro Forte	basso	12.429
29	166	seminativo	cereali	battuto	bassa	San Mauro Forte	basso	6.010
24	195	seminativo	cereali	battuto	bassa	San Mauro Forte	basso	1.484
24	196	seminativo	cereali	battuto	bassa	San Mauro Forte	basso	1.239
24	213	seminativo	cereali	battuto	bassa	San Mauro Forte	basso	4.058
24	79	seminativo	cereali	battuto	bassa	San Mauro Forte	basso	1.508
24	171	seminativo	cereali	battuto	bassa	San Mauro Forte	basso	9.030
24	221	seminativo	cereali	battuto	bassa	San Mauro Forte	basso	15.257
24	173	seminativo	cereali	battuto	bassa	San Mauro Forte	basso	13.591
24	91	seminativo	cereali	battuto	bassa	San Mauro Forte	basso	778
24	177	seminativo	cereali	battuto	bassa	San Mauro Forte	basso	9.674
24	164	seminativo	cereali	battuto	bassa	San Mauro Forte	basso	20.159
24	167	seminativo	cereali	battuto	bassa	San Mauro Forte	basso	45.147
24	179	seminativo	cereali	battuto	bassa	San Mauro Forte	basso	12.137
24	181	seminativo	cereali	battuto	bassa	San Mauro Forte	basso	4.100
24	164	seminativo	cereali	battuto	bassa	San Mauro Forte	basso	7.463
7	197	seminativo	cereali	battuto	bassa	San Mauro Forte	basso	3.666
7	195	seminativo	cereali	battuto	bassa	San Mauro Forte	basso	13.174
7	193	arborato	uliveto	battuto	media	San Mauro Forte	basso	991
7	227	seminativo	cereali	battuto	bassa	San Mauro Forte	basso	6.541
7	225	arborato	uliveto	battuto	media	San Mauro Forte	basso	1.925
7	206	seminativo	cereali	battuto	bassa	San Mauro Forte	basso	3.848
7	205	seminativo	cereali	battuto	bassa	San Mauro Forte	basso	5.543
51	107	seminativo	cereali	battuto	bassa	Salandra	basso	5.611
51	109	arborato	uliveto	battuto	media	Salandra	basso	23.178
51	145	seminativo	cereali	battuto	bassa	Salandra	basso	10.489
51	145	seminativo	cereali	battuto	bassa	Salandra	basso	17.726

51	144	arborato	uliveto	battuto	media	Salandra	basso	10.321
51	142	arborato	uliveto	battuto	media	Salandra	basso	2.732
50	108	seminativo	cereali	battuto	bassa	Salandra	basso	4.176
50	115	seminativo	cereali	battuto	bassa	Salandra	basso	4.813
7	193	seminativo	cereali	battuto	bassa	San Mauro Forte	basso	2.895
7	216	seminativo	cereali	battuto	bassa	San Mauro Forte	basso	34.312
45	107	arborato	uliveto	battuto	media	Salandra	basso	3.973
7	214	seminativo	cereali	battuto	bassa	San Mauro Forte	basso	37.586
7	209	seminativo	cereali	battuto	bassa	San Mauro Forte	basso	4.670
7	38	seminativo	cereali	battuto	bassa	San Mauro Forte	basso	15.100
7	207	seminativo	cereali	battuto	bassa	San Mauro Forte	basso	11.365
7	198	seminativo	cereali	battuto	bassa	San Mauro Forte	basso	25.213
7	200	seminativo	cereali	battuto	bassa	San Mauro Forte	basso	10.057
45	93	arborato	uliveto	battuto	media	Salandra	basso	1.425
44	97	arborato	uliveto	battuto	media	Salandra	basso	7.125
44	89	arborato	uliveto	battuto	media	Salandra	basso	2.782
44	96	arborato	uliveto	battuto	media	Salandra	basso	5.915
44	84	arborato	uliveto	battuto	media	Salandra	basso	6.614
44	43	arborato	uliveto	battuto	media	Salandra	basso	344
45	131	arborato	uliveto	battuto	media	Salandra	basso	1.185
45	47	arborato	uliveto	battuto	media	Salandra	basso	178
44	22	arborato	uliveto	battuto	media	Salandra	basso	865
44	102	arborato	uliveto	battuto	media	Salandra	basso	3.878
39	141	arborato	uliveto	battuto	media	Salandra	basso	5.263
39	140	seminativo	cereali	battuto	bassa	Salandra	basso	3.610
39	143	seminativo	cereali	battuto	bassa	Salandra	basso	4.769
39	144	seminativo	cereali	battuto	bassa	Salandra	basso	2.617
39	133	seminativo	cereali	battuto	bassa	Salandra	basso	3.985
39	149	seminativo	cereali	battuto	bassa	Salandra	basso	1.114
39	146	seminativo	cereali	battuto	bassa	Salandra	basso	2.554
39	147	seminativo	cereali	battuto	bassa	Salandra	basso	7.594
44	116	seminativo	cereali	battuto	bassa	Salandra	basso	8.703
44	6	seminativo	cereali	battuto	bassa	Salandra	basso	1.074
44	108	seminativo	cereali	battuto	bassa	Salandra	basso	1.111
44	111	seminativo	cereali	battuto	bassa	Salandra	basso	4.091
44	119	seminativo	cereali	battuto	bassa	Salandra	basso	1.235
44	116	seminativo	cereali	battuto	bassa	Salandra	basso	4.032
44	122	seminativo	cereali	battuto	bassa	Salandra	basso	4.459
44	117	seminativo	cereali	battuto	bassa	Salandra	basso	7.177
44	120	seminativo	cereali	battuto	bassa	Salandra	basso	3.356
38	90	seminativo	cereali	battuto	bassa	Salandra	basso	8.567
38	92	seminativo	cereali	battuto	bassa	Salandra	basso	7.668
38	95	seminativo	cereali	battuto	bassa	Salandra	basso	5.279
38	99	seminativo	cereali	battuto	bassa	Salandra	basso	2.541
38	17	seminativo	cereali	battuto	bassa	Salandra	basso	1.027
38	98	seminativo	cereali	battuto	bassa	Salandra	basso	1.285
38	97	seminativo	cereali	battuto	bassa	Salandra	basso	897
38	93	seminativo	cereali	battuto	bassa	Salandra	basso	7.385
38	82	seminativo	cereali	battuto	bassa	Salandra	basso	2.418
38	65	seminativo	cereali	battuto	bassa	Salandra	basso	2.401
38	96	seminativo	cereali	battuto	bassa	Salandra	basso	2.223
38	21	seminativo	cereali	battuto	bassa	Salandra	basso	1.628
38	22	seminativo	cereali	battuto	bassa	Salandra	basso	4.134

43	353	seminativo	cereali	battuto	bassa	Garaguso	basso	1.919
43	66	seminativo	cereali	battuto	bassa	Garaguso	basso	6.013
43	365	seminativo	cereali	battuto	bassa	Garaguso	basso	3.082
43	355	seminativo	cereali	battuto	bassa	Garaguso	basso	4.260
43	126	seminativo	cereali	battuto	bassa	Garaguso	basso	4.656
43	242	seminativo	cereali	battuto	bassa	Garaguso	basso	1.148
43	123	seminativo	cereali	battuto	bassa	Garaguso	basso	20.719
43	283	seminativo	cereali	battuto	bassa	Garaguso	basso	5.076
43	276	seminativo	cereali	battuto	bassa	Garaguso	basso	1.033
43	124	seminativo	cereali	battuto	bassa	Garaguso	basso	22.901
47	153	seminativo	cereali	battuto	bassa	Garaguso	basso	1.970
47	162	seminativo	cereali	battuto	bassa	Garaguso	basso	6.013
47	91	seminativo	cereali	battuto	bassa	Garaguso	basso	732
47	84	seminativo	cereali	battuto	bassa	Garaguso	basso	1.513
47	380	seminativo	cereali	battuto	bassa	Garaguso	basso	5.277
47	124	seminativo	cereali	battuto	bassa	Garaguso	basso	1.836
47	375	seminativo	cereali	battuto	bassa	Garaguso	basso	5.554
47	413	seminativo	cereali	battuto	bassa	Garaguso	basso	52.644
47	371	seminativo	cereali	battuto	bassa	Garaguso	basso	619
47	377	seminativo	cereali	battuto	bassa	Garaguso	basso	1.633
87	14	seminativo	cereali	battuto	bassa	Ferrandina	basso	26.191
87	42	seminativo	cereali	battuto	bassa	Ferrandina	basso	2.297
87	25	seminativo	cereali	battuto	bassa	Ferrandina	basso	7.261
76	76	seminativo	cereali	battuto	bassa	Ferrandina	basso	3.825
76	40	arborato	uliveto	battuto	media	Ferrandina	basso	2.411
74	135	seminativo	cereali	battuto	media	Ferrandina	basso	2.206
75	228	seminativo	cereali	battuto	bassa	Ferrandina	basso	6.301
75	107	seminativo	cereali	battuto	bassa	Ferrandina	basso	7.425
75	107	seminativo	cereali	battuto	bassa	Ferrandina	basso	8.175
76	284	seminativo	cereali	battuto	bassa	Ferrandina	basso	8.165
87	33	seminativo	cereali	battuto	bassa	Ferrandina	basso	11.093
87	50	seminativo	cereali	battuto	bassa	Ferrandina	basso	5.998
								2.783.971

Particelle non indagabili

Foglio	Particella	Utilizzo del suolo	Vegetazione	Lavorazione del terreno	Visibilità	Comune	Grado di rischio	Area in m ²
77	57	pascolo	vegetazione spontanea	battuto	nulla	Ferrandina	basso	17.840
77	71	pascolo	vegetazione spontanea	battuto	nulla	Ferrandina	basso	24.262
77	58	pascolo	vegetazione spontanea	battuto	nulla	Ferrandina	basso	2.446
77	59	pascolo	vegetazione spontanea	battuto	nulla	Ferrandina	basso	16.909
77	60	pascolo	vegetazione spontanea	battuto	nulla	Ferrandina	basso	21.248
77	59	pascolo	vegetazione spontanea	battuto	nulla	Ferrandina	basso	19.222
87	213	pascolo	vegetazione spontanea	battuto	nulla	Ferrandina	basso	1.672
87	138	pascolo	vegetazione spontanea	battuto	nulla	Ferrandina	basso	504
87	232	incolto	vegetazione spontanea	battuto	nulla	Ferrandina	basso	11.196
87	12	incolto	vegetazione spontanea	battuto	nulla	Ferrandina	basso	10.764
87	25	pascolo	vegetazione spontanea	battuto	nulla	Ferrandina	basso	27.372

87	10	pascolo	vegetazione spontanea	battuto	nulla	Ferrandina	basso	6.102
87	27	pascolo	vegetazione spontanea	battuto	nulla	Ferrandina	basso	7.535
76	32	incolto	nessuna	battuto	nulla	Ferrandina	basso	4.535
83	69	arborato	bosco	battuto	nulla	Ferrandina	basso	33.595
83	66	arborato	bosco	battuto	nulla	Ferrandina	basso	24.285
83	119	arborato	bosco	battuto	nulla	Ferrandina	basso	15.994
83	59	arborato	bosco	battuto	nulla	Ferrandina	basso	19.526
83	6	arborato	bosco	battuto	nulla	Ferrandina	basso	21.307
83	50	arborato	bosco	battuto	nulla	Ferrandina	basso	34.380
75	67	arborato	bosco	battuto	nulla	Ferrandina	basso	5.641
75	80	arborato	bosco	battuto	nulla	Ferrandina	basso	25.080
75	74	arborato	bosco	battuto	nulla	Ferrandina	basso	24.154
75	93	arborato	bosco	battuto	nulla	Ferrandina	basso	1.181
75	37	arborato	bosco	battuto	nulla	Ferrandina	basso	2.411
75	40	arborato	bosco	battuto	nulla	Ferrandina	basso	15.773
75	66	arborato	bosco	battuto	nulla	Ferrandina	basso	3.047
76	196	arborato	bosco	battuto	nulla	Ferrandina	basso	8.241
76	195	arborato	bosco	battuto	nulla	Ferrandina	basso	10.191
76	194	arborato	bosco	battuto	nulla	Ferrandina	basso	3.006
76	150	arborato	bosco	battuto	nulla	Ferrandina	basso	421
76	199	arborato	bosco	battuto	nulla	Ferrandina	basso	15.341
74	ND	incolto	vegetazione spontanea	battuto	nulla	Ferrandina	basso	41.402
76	125	incolto	vegetazione spontanea	battuto	nulla	Ferrandina	basso	385
76	126	incolto	vegetazione spontanea	battuto	nulla	Ferrandina	basso	348
76	127	incolto	vegetazione spontanea	battuto	nulla	Ferrandina	basso	404
73	161	incolto	vegetazione spontanea	battuto	nulla	Ferrandina	basso	3.350
65	320	arborato	bosco	battuto	nulla	Ferrandina	basso	19.099
65	324	incolto	vegetazione spontanea	battuto	nulla	Ferrandina	basso	2.168
75	290	arborato	bosco	battuto	nulla	Ferrandina	basso	2.682
30	81	arborato	bosco	battuto	nulla	San Mauro Forte	basso	4.700
65	257	incolto	vegetazione spontanea	battuto	nulla	San Mauro Forte	basso	2.409
30	2	arborato	bosco	battuto	nulla	San Mauro Forte	basso	1.079
29	151	arborato	bosco	battuto	nulla	San Mauro Forte	basso	904
24	211	arborato	bosco	battuto	nulla	San Mauro Forte	basso	2.256
24	160	arborato	bosco	battuto	nulla	San Mauro Forte	basso	1.314
7	192	arborato	bosco	battuto	nulla	San Mauro Forte	basso	4.838
7	9	arborato	bosco	battuto	nulla	San Mauro Forte	basso	324
7	226	arborato	bosco	battuto	nulla	San Mauro Forte	basso	651
7	228	arborato	bosco	battuto	nulla	San Mauro Forte	basso	260
51	112	incolto	vegetazione spontanea	battuto	nulla	Salandra	basso	5.143
51	112	incolto	vegetazione spontanea	battuto	nulla	Salandra	basso	1.001
50	117	incolto	vegetazione spontanea	battuto	nulla	Salandra	basso	1.099
50	114	incolto	vegetazione spontanea	battuto	nulla	Salandra	basso	5.066

50	112	incolto	vegetazione spontanea	battuto	nulla	Salandra	basso	10.666
73	28	incolto	vegetazione spontanea	battuto	nulla	Ferrandina	basso	26.974
45	101	incolto	vegetazione spontanea	battuto	nulla	Salandra	basso	3.548
44	90	incolto	vegetazione spontanea	battuto	nulla	Salandra	basso	2.595
44	90	arborato	bosco	battuto	nulla	Salandra	basso	4.890
43	69	arborato	bosco	battuto	nulla	Garaguso	basso	17.272
87	14	pascolo	vegetazione spontanea	battuto	nulla	Ferrandina	basso	7.178
87	14	pascolo	vegetazione spontanea	battuto	nulla	Ferrandina	basso	22.290
87	50	arborato	bosco	battuto	nulla	Ferrandina	basso	7.024
								638.500

7. ELENCO DELLE FOTOGRAFIE

- 1) Località il Serrone, area dell'aerogeneratore 11 vista da NE.
- 2) Località il Serrone, area dell'aerogeneratore 11 vista da NE.
- 3) Località il Serrone, area dell'aerogeneratore 11 vista da NE.
- 4) Località il Serrone, area interessata dal passaggio del cavidotto diretto a S verso l'aerogeneratore 10. Sulla destra l'area dell'aerogeneratore 11.
- 5) Località il Serrone, tratto di cavidotto interno al parco eolico diretto a S verso l'aerogeneratore 10.
- 6) Località Piana di Surrone-Manca La Pettola, area dell'aerogeneratore 10 vista da N.
- 7) Località Piana di Surrone-Manca La Pettola, dettaglio dell'area dell'aerogeneratore 10 vista da N.
- 8) Località Piana di Surrone-Manca La Pettola, area dell'aerogeneratore 10 vista da N.
- 9) Località Piana di Surrone-Manca La Pettola, tratto di cavidotto interno al parco eolico proveniente da N visto da S.
- 10) Località Piana di Surrone-Manca La Pettola, tratto di cavidotto interno al parco eolico diretto a S visto da N.
- 11) Località Manca La Pettola-Masseria Quera, tratto di cavidotto interno al parco eolico proveniente da N dall'area dell'aerogeneratore 10, visto da S.
- 12) Località Manca La Pettola-Masseria Quera, tratto di cavidotto interno al parco eolico diretto a SW visto da NE.
- 13) Località Cugno Lungo-Serra S. Pietro, tratto di cavidotto interno al parco eolico diretto a SW visto da NE.
- 14) Località Masseria La Capria, tratto di cavidotto interno al parco eolico diretto a SE visto da NW.
- 15) Località Masseria La Capria, tratto di cavidotto interno al parco eolico diretto a SSW visto da NNE.
- 16) Località Masseria Rossi-Casa de Bels, tratto di cavidotto interno al parco eolico diretto a SE visto da NW.
- 17) Località Masseria Torino, tratto di cavidotto interno al parco eolico diretto a S visto da N.
- 18) Località Masseria Torino-Quadrone, tratto di cavidotto interno al parco eolico diretto a SSE visto da NNW.
- 19) Località Manca del Termito, tratto di cavidotto interno al parco eolico diretto a E verso l'aerogeneratore 7.
- 20) Località Manca del Termito, area dell'aerogeneratore 7 vista da W.
- 21) Località Timpa Scarace, tratto di cavidotto interno al parco eolico diretto a NNE.
- 22) Località Timpa Scarace-Piana Panacce, tratto di cavidotto interno al parco eolico diretto a E verso l'aerogeneratore 8.

- 23) Località Timpa Scarace-Piana Cirògica, tratto di cavidotto interno al parco eolico diretto a S verso gli aerogeneratori 1, 2 e 3.
- 24) Località Piana Panacce, tratto di cavidotto interno al parco eolico diretto a NE verso l'aerogeneratore 8.
- 25) Località Timpa Panacce, tratto di cavidotto interno al parco eolico diretto a SSE.
- 26) Località Timpa Panacce-Pantone della Fica, area dell'aerogeneratore 8.
- 27) Località Timpa Panacce, tratto di cavidotto interno al parco eolico diretto a SE verso l'aerogeneratore 9.
- 28) Località Serra San Pietro, tratto di cavidotto interno al parco eolico diretto a SE.
- 29) Località Serra San Pietro, tratto di cavidotto interno al parco eolico diretto a SE.
- 30) Località Serra San Pietro, area dell'aerogeneratore 9 vista da W.
- 31) Località Piana Cirògica, tratto di cavidotto interno al parco eolico diretto a W.
- 32) Località Le Rocche, tratto di cavidotto interno al parco eolico diretto a W verso l'aerogeneratore 3.
- 33) Località Le Rocche, tratto di cavidotto interno al parco eolico diretto a SE verso gli aerogeneratori 1 e 2.
- 34) Località Le Rocche-Piscione Primo, tratto di cavidotto interno al parco eolico diretto a S verso gli aerogeneratori 1 e 2.
- 35) Località Manca Sanizza-Piscione Primo, tratto di cavidotto interno al parco eolico diretto a W verso gli aerogeneratori 1 e 2.
- 36) Località Le Rocche, area dell'aerogeneratore 3 vista da NE.
- 37) Località Manca Sanizza-Fosso Raganelle, area dell'aerogeneratore 2 vista da NE.
- 38) Località Raganelle, area dell'aerogeneratore 1 vista da S.
- 39) Località Casa Pepe, tratto di cavidotto interno al parco eolico diretto a SW.
- 40) Località Casa Poeta-Cicchitella, tratto di cavidotto interno al parco eolico diretto a SW verso gli aerogeneratori 5 e 4.
- 41) Località Cicchitella, tratto di cavidotto interno al parco eolico diretto a SW verso gli aerogeneratori 5 e 4.
- 42) Località Jazzo Scorpione, area dell'aerogeneratore 5 vista da W.
- 43) Località Masseria Scorpione, area dell'aerogeneratore 4 vista da SW.
- 44) Località Cicchitella-Fossa Rusciano, tratto di cavidotto esterno al parco eolico diretto a SW lungo la Strada Provinciale 4 Ferrandina-Stigliano.
- 45) Località Cicchitella-Fossa Rusciano, tratto di cavidotto esterno al parco eolico diretto a SW lungo la Strada Provinciale 4 Ferrandina-Stigliano.
- 46) Località Manca La Petrizza, tratto di cavidotto diretto a W lungo la Strada Provinciale 4 Ferrandina-Stigliano.
- 47) Località Manca La Petrizza, tratto di cavidotto diretto a WNW lungo la Strada Provinciale 4 Ferrandina-Stigliano.

- 48) Località Manca La Petrizza, tratto di cavidotto diretto a NW lungo la Strada Provinciale 4 Ferrandina-Stigliano.
- 49) Località Serra la Vena, tratto di cavidotto diretto a NW lungo la Strada Provinciale 4 Ferrandina-Stigliano.
- 50) Località Jazzo dell'Acqua Salsa-Piano dell'olivo, tratto di cavidotto diretto a W lungo la Strada Provinciale 4 Ferrandina-Stigliano in prossimità del ponte Salandrella II.
- 51) Località Jazzo Piano Miele, tratto di cavidotto diretto a W lungo la Strada Provinciale 4 Ferrandina-Stigliano.
- 52) Località Petto di Seggio, tratto di cavidotto diretto a NNW lungo la Strada Provinciale 4 Ferrandina-Stigliano.
- 53) Località Torrente Salandrella, tratto di cavidotto diretto a N lungo la Strada Provinciale 4 Ferrandina-Stigliano in prossimità di un parco fotovoltaico.
- 54) Località Serra d'Olivo-Masseria Belmonte, tratto di cavidotto diretto a N lungo la Strada Provinciale 4 Ferrandina-Stigliano in prossimità del ponte Salandrella III.
- 55) Località Isca Fornace-Isca di Croce, tratto di cavidotto diretto a NW lungo la Strada Provinciale 4 Ferrandina-Stigliano in prossimità del ponte Salandrella IV.
- 56) Località il Pantanello-Torrente Salandrella, tratto di cavidotto diretto a NW lungo la Strada Provinciale 4 Ferrandina-Stigliano.
- 57) Località Masseria Molino-Sorgente Molino, tratto di cavidotto diretto a N lungo la Strada Provinciale 4 Ferrandina-Stigliano.
- 58) Località Ponte Cristallo, tratto di cavidotto nel punto in cui lascia la Strada Provinciale 4 Ferrandina-Stigliano e si dirige a W seguendo il percorso della strada per Garaguso.
- 59) Località Ponte Cristallo-Guardiola di Sotto, tratto di cavidotto diretto a W lungo la strada che dalla SP 4 Ferrandina-Stigliano si dirige verso Garaguso.
- 60) Località Guardiola di Sotto, tratto di cavidotto diretto a W verso la sottostazione elettrica lungo la strada che dalla SP 4 Ferrandina-Stigliano si dirige verso Garaguso.
- 61) Località Ponte della Salandrella, tratto di cavidotto diretto a S verso la sottostazione elettrica.
- 62) Località Casa Vaccarizza-Canalecchia, la stazione elettrica esistente.
- 63) Località Casa Vaccarizza-Canalecchia, tratto finale del cavidotto esterno al parco proveniente da a N e diretto alla sottostazione elettrica.

7.1 DOCUMENTAZIONE FOTOGRAFICA



FOTO NR. 1



FOTO NR. 2



FOTO NR. 3



FOTO NR. 4



FOTO NR. 5



FOTO NR. 6



FOTO NR. 7



FOTO NR. 8



FOTO NR. 9



FOTO NR. 10



FOTO NR. 11



FOTO NR. 12



FOTO NR. 13



FOTO NR. 14



FOTO NR. 15



FOTO NR. 16



FOTO NR. 17



FOTO NR. 18



FOTO NR. 19



FOTO NR. 20



FOTO NR. 21

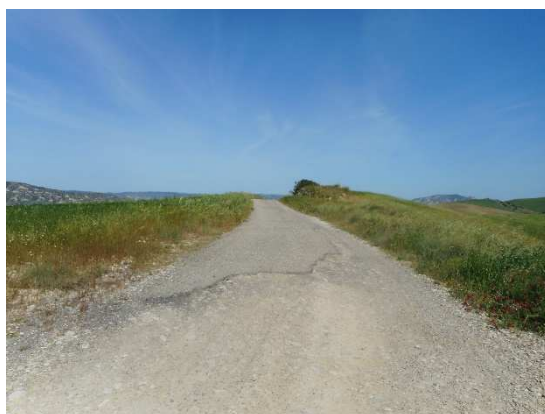


FOTO NR. 22



FOTO NR. 23



FOTO NR. 24



FOTO NR. 25



FOTO NR. 26

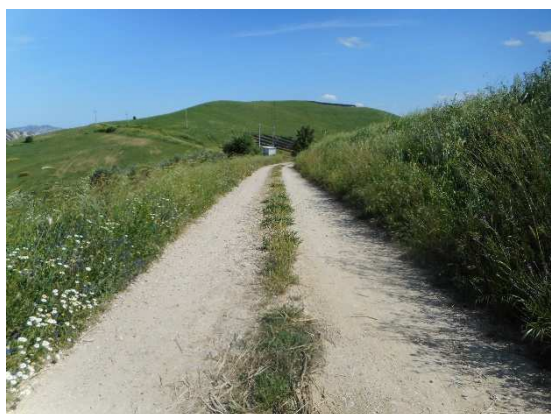


FOTO NR. 27



FOTO NR. 28



FOTO NR. 29



FOTO NR. 30



FOTO NR. 31



FOTO NR. 32



FOTO NR. 33



FOTO NR. 34



FOTO NR. 35



FOTO NR. 36



FOTO NR. 37

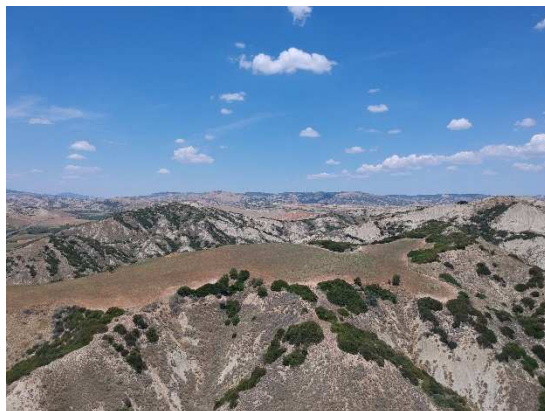


FOTO NR. 38



FOTO NR. 39



FOTO NR. 40



FOTO NR. 41



FOTO NR. 42



FOTO NR. 43



FOTO NR. 44



FOTO NR. 45



FOTO NR. 46



FOTO NR. 47



FOTO NR. 48



FOTO NR. 49



FOTO NR. 50



FOTO NR. 51

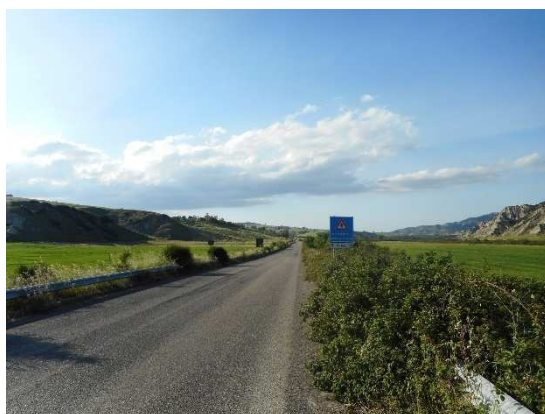


FOTO NR. 52

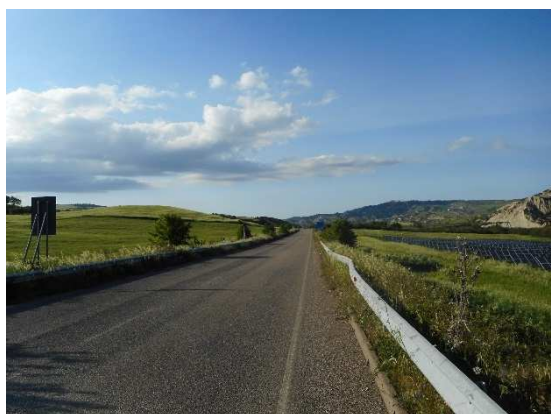


FOTO NR. 53



FOTO NR. 54



FOTO NR. 55



FOTO NR. 56



FOTO NR. 57



FOTO NR. 58

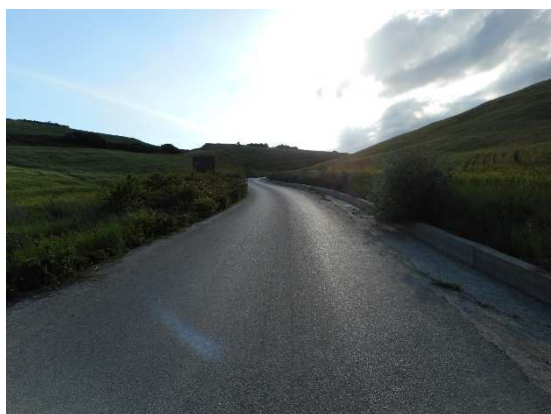


FOTO NR. 59



FOTO NR. 60



FOTO NR. 61



FOTO NR. 62



FOTO NR. 63

8. ELENCO TAVOLE

Tav. I	Opere in progetto
Tav. II.1	Carta dei Siti Noti
Tav. II.2	Carta dei Siti Noti
Tav. III.1	Carta della Vegetazione
Tav. III.2	Carta della Vegetazione
Tav. IV.1	Carta della Visibilità
Tav. IV.2	Carta della Visibilità
Tav. V.1	Carta del Rischio Archeologico
Tav. V.2	Carta del Rischio Archeologico
Tav. VII.1	Carta sinottica delle presenze archeologiche e del rischio archeologico
Tav. VII.2	Carta sinottica delle presenze archeologiche e del rischio archeologico

9. BIBLIOGRAFIA

BUCK 1974

Buck, R. J. 1974, *The Ancient Roads of Eastern Lucania*, in *Papers of the British School at Rome* 42 (1974), 46-67.

CANOSA 1987

Canosa M.G. 1987, *Rinvenimenti archeologici nel territorio di Ferrandina*, in Barbone Pugliese N., Lisanti F., Ferrandina. *Recupero di un'identità culturale*, Galatina, pp. 21-25.

CANOSA 1987

Canosa M.G. 1987, *Masseria Scorpione*, in Barbone Pugliese N., Lisanti F., Ferrandina. *Recupero di un'identità culturale*, Galatina, pp. 43-44.

CIOTTA 1988

Ciotta G. et alii 1988, *Insedimenti francescani in Basilicata. Un repertorio per la conoscenza tutela e conservazione*, Matera.

D'ANGELLA 2008

D'Angella D. B. 2008, *Note storiche di San Mauro Forte*, Pisticci, pp. 293-294.

DE SIENA 1994

De Siena A. 1994, *L'influenza greca nella media valle del Basento e nell'area interna di Uggiano*, in Palestina C., *Ferrandina I. La terra di Oblano. Dagli insediamenti entri alla città di Ferrante*, Venosa, pp. 79, 82.

GIARDINO

Giardino L. 2009, *Aspetti della viabilità romana in Lucania*, in Tarlano F., *Il territorio grumentino e la valle dell'Agri nell'antichità. Atti della giornata di studi - Grumento Nova (PZ), 25 aprile 2009*, Roma, pp. 49-56.

TRAMONTI 1983

Tramonti A. 1983, *Note per la carta archeologica di San Mauro Forte*, in *Studi in onore di Dinu Adamesteanu*, Galatina, pp. 87-95.

Sitografia

www.cartapulia.it

www.sit.puglia.it

www.pcn.minambiente.it

www.archeobasilicata.beniculturali.it/WA_Vincoli_Espropri.aspx

rsdi.regione.basilicata.it/servizi-in-linea